Revista Ibérica de Aracnología, nº **31** (31/12/2017): 25–48.
Grupo Ibérico de Aracnología (S.E.A.). ISSN: 1576 - 9518.

CONTRIBUTION A LA CONNAISSANCE DE L'ARANEOFAUNE (ARANEAE) DE L'ALGARVE (PORTUGAL). DESCRIPTION DE *THERIDION BERNARDI* N.SP. (ARANEAE: THERIDIIDAE) ET REDECOUVERTE D'*OZYPTILA PERPLEXA* SIMON, 1875 (ARANEAE: THOMISIDAE)

Sylvain Lecigne

406, rue d'Aubencheul - F-59 268 Fressies, France — lecigne.sylvain@bbox.fr

Résumé: Dans cet article, nous établissons la liste des araignées (Arachnida, Araneae) capturées dans plusieurs localités du sud du Portugal (Algarve, district de Faro) au cours d'un séjour en avril 2017. Au total, 93 espèces de 27 familles ont été recensées. Quatre espèces sont nouvelles pour la faune du Portugal: *Anatolidion gentile* (Simon, 1881) (également nouveau pour la Péninsule Ibérique), *Ozyptila perplexa* Simon, 1875 (s'agissant également d'une redécouverte pour la faune ibérique), *Pellenes brevis* (Simon, 1868) et *Pulchellodromus simoni* (Mello-Leitão, 1929). Une nouvelle espèce pour la science a été observée,et ici nous en décrivons les deux sexes sous le nom de *Theridion bernardi* **n. sp.**, nouveau représentant européen du groupe *Theridion melanurum*. Plusieurs autres *taxa* intéressants sont à signaler: *Ero flammeola* Simon, 1881, *Scotophaeus nanoides* Wunderlich, 2011, *Theridion harmsi* Wunderlich, 2011 et *Lathys* cf. *affinis* (Blackwall, 1862). Par ailleurs, 40 espèces sont nouvelles pour le district de Faro, parmi lesquelles *Arctosa fulvolineata* (Lucas, 1846), *Heliophanus agricola* Wesolowska, 1986, *Lasaeola testaceomarginata* Simon, 1881, *Titanoeca praefica* (Simon, 1870), *Trabea paradoxa* Simon, 1876, *Zelotes criniger* Denis, 1937 et *Zelotes lagrecai* Di Franco, 1994. Des dessins de genitalia ainsi que des clichés sont joints pour illustrer plusieurs de ces espèces.
Mots clés: Arachnida, Araneae, *Theridion bernardi*, nouvelle espèce, *Ozyptila perplexa*, inventaire, Portugal, Algarve, Faro.

Contribution to the spider (Araneae) survey of the Algarve (Portugal). Description of *Theridion bernardi* n. sp. (Araneae: Theridiidae) and rediscovery of *Ozyptila perplexa* Simon, 1875 (Araneae: Thomisidae)
Abstract: A list is provided of the spiders (Arachnida, Araneae) collected in several municipalities of southern Portugal (Algarve, Faro ditrict), during a survey in April 2017, totalling 93 species in 27 families. Four species are new to Portugal: *Anatolidion gentile* (Simon, 1881) (also new to the Iberian Peninsula), *Ozyptila perplexa* Simon, 1875 (a rediscovery for the Iberian fauna), *Pellenes brevis* (Simon, 1868) and *Pulchellodromus simoni* (Mello-Leitão, 1929). One of the species is new to science, and here we are describing both sexes as *Theridion bernardi* **n. sp.**, a new European member of the *Theridion melanurum* group. Other interesting taxa are *Ero flammeola* Simon, 1881, *Scotophaeus nanoides* Wunderlich, 2011, *Theridion harmsi* Wunderlich, 2011 and *Lathys* cf. *affinis* (Blackwall, 1862). In addition, 40 species are new to the Faro district, including *Arctosa fulvolineata* (Lucas, 1846), *Heliophanus agricola* Wesolowska, 1986, *Lasaeola testaceomarginata* Simon, 1881, *Titanoeca praefica* (Simon, 1870), *Trabea paradoxa* Simon, 1876, *Zelotes criniger* Denis, 1937 and *Zelotes lagrecai* Di Franco, 1994.Genitalia drawings and photographs illustrating several of these species are presented.
Key words: Arachnida, Araneae, *Theridion bernardi*, new species, *Ozyptila perplexa,* inventory, Portugal, Algarve, Faro.

Contribución al conocimiento de las arañas (Araneae) del Algarve (Portugal). Descripción de *Theridion bernardi* n.sp. (Araneae: Theridiidae) y redescubrimiento de *Ozyptila perplexa* Simon, 1875 (Araneae: Thomisidae)
Resumen: Se enumeran las arañas (Arachnida, Araneae) recogidas en varios municipios del sur de Portugal (Algarve, distrito de Faro) durante muestreos realizados en abril de 2017, que incluyen 93 especies de 27 familias. De ellas, 4 son primera cita para Portugal: *Anatolidion gentile* (Simon, 1881) (nueva también para la Península Ibérica), *Ozyptila perplexa* Simon, 1875 (redescubierta para la fauna ibérica), *Pellenes brevis* (Simon, 1868) y *Pulchellodromus simoni* (Mello-Leitão, 1929). Se encontró una especie nueva para la ciencia, y describimos aquí ambos sexos como *Theridion bernardi* **n. sp.**, nuevo miembro europeo del grupo de *Theridion melanurum*. Otros taxones interesantes son *Ero flammeola* Simon, 1881, *Scotophaeus nanoides* Wunderlich, 2011, *Theridion harmsi* Wunderlich, 2011 y *Lathys* cf. *affinis* (Blackwall, 1862). Por otra parte, 40 especies son novedad para el distrito de Faro, incluyendo a *Arctosa fulvolineata* (Lucas, 1846), *Heliophanus agricola* Wesolowska, 1986, *Lasaeola testaceomarginata* Simon, 1881, *Titanoeca praefica* (Simon, 1870), *Trabea paradoxa* Simon, 1876 y *Zelotes criniger* Denis, 1937, *Zelotes lagrecai* Di Franco, 1994. Se presentan dibujos de genitalias y fotos para ilustrar varias de estas especies.
Palabras clave: Arachnida, Araneae, *Theridion bernardi*, especies nuevas, *Ozyptila perplexa,* inventario, Portugal, Algarve, Faro.

Taxonomía / Taxonomy: *Theridion bernardi* **n. sp.**

Introduction

Cardoso et Morano (2010) indiquent que la connaissance des araignées de la Péninsule Ibérique est encore très incomplète et que beaucoup d'espèces restent à découvrir voire à décrire. La liste établie en 2010 fait mention de 1335 espèces ibériques dont 1213 pour l'Espagne et 768 pour le Portugal, le nombre total d'espèces pour la Péninsule Ibérique étant porté à 1382 dans le catalogue en ligne (Morano *et al.*, 2014).

De nouveaux travaux ont été produits depuis, parmi lesquels Lissner (2016, 2017), Melic *et al.* (2016), Wunderlich (2017). Ils ont permis de porter à 816 le nombre d'espèces pour le Portugal (Nentwig *et al.*, 2017). Le présent texte est une contribution supplémentaire à ce travail de découverte de l'aranéofaune du Portugal. Celui-ci rapporte les résultats d'investigations qui se sont déroulées au printemps 2017.

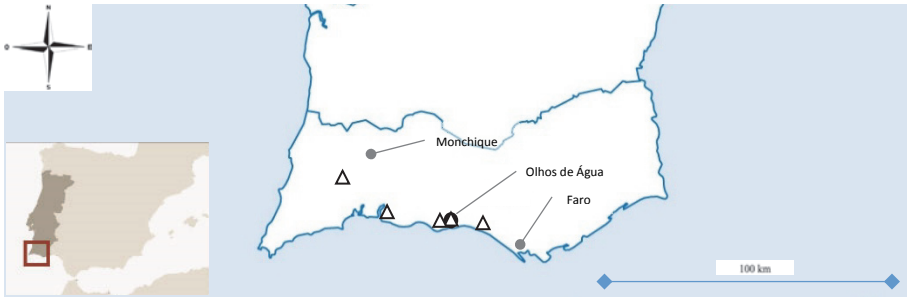


Fig. 1. Situation géographique de la zone d'étude (△: principaux secteurs prospestés) et données de recensement de *Theridion bernardi* n. sp. (●)

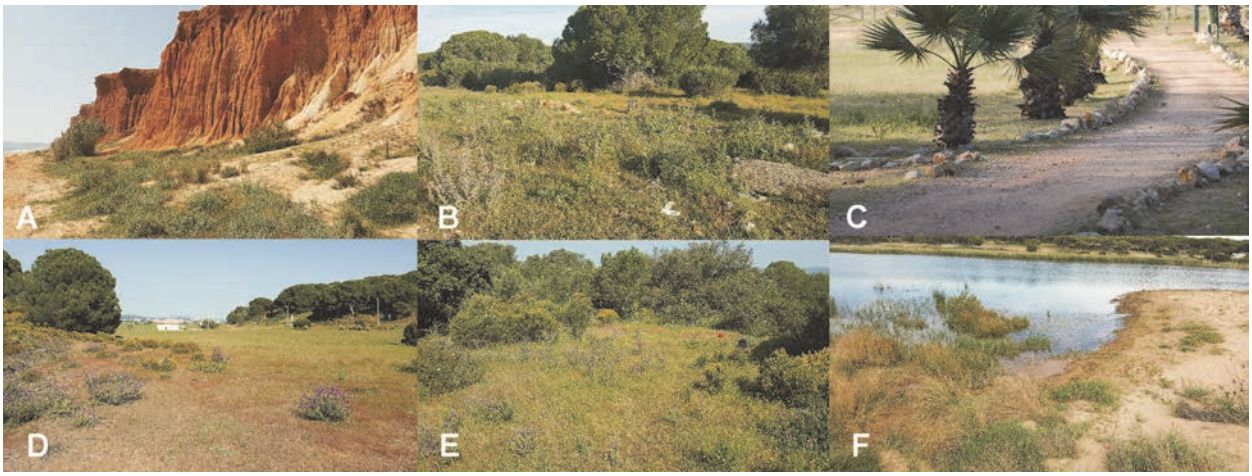


Fig. 2. A-F. Principaux milieux prospectés. **A**. Végétation en pied de falaise – Olhos de Água. **B**. Friche – Olhos de Água. **C**. Chemin bordé de pierres – Olhos de Água. **D**. Pelouse et végétation arbustive. Olhos de Água. **E**. Prairie et bosquet – Olhos de Água. **F**. Oyat en bord de plan d'eau – Quarteira, Praia do Almargem. (Photos: S. Lecigne).

Elles ont concerné la région de l'Algarve (district de Faro), plus précisément les municipalités d'Albufeira (secteur d'Olhos de Água notamment) (Fig. 1) et dans une moindre mesure celles de Faro, Loulé, Monchique et Portimão.

Les principaux milieux explorés sont les suivants:

-Végétation éparse en pied de falaise (Olhos de Água, -299991, 5620970, alt. 5m) (Fig. 2A).
- Friche et gravats (Olhos de Água, -299645, 5621267, alt. 24m) (Fig. 2B).
- Chemin bordé de pierres (Olhos de Água, -300064, 5621169, alt. 27m) (Fig. 2C).
- Pelouse et sol nu, zone arbustive et résineux en bord de prairie (Olhos de Água, -335550, 5643836, alt. 8m) (Fig. 2D).
- Prairie mésophile et bosquet (Olhos de Água, -299536, 5621221, alt. 17m) (Fig. 2E).
- Bord de plan d'eau en zone littorale: végétation de type oyats sur sol sableux (Quarteira, Praia do Almarge, -294375, 5617748, alt. 4m) (Fig. 2F).
- Bord de rivière, en pied de talus sous des carex couchés en décomposition (Rasmalhos, -332594, 5643368, alt. 38m).
- Mur, muret et chemin intérieur de complexe hôtelier (Olhos de Água, -300021, 5621289, alt. 23m).

Matériel et méthodes

Les captures ont été réalisées du 11 au 17 avril 2017 dans plusieurs localités notamment de la zone littorale (Fig. 1).

Les techniques utilisées ont été la chasse à vue (notamment sous les pierres mais aussi dans la végétation herbacée et arbustive) ainsi que le battage. Les espèces ont toutes été déterminées au laboratoire sous loupe binoculaire à l'aide des ouvrages et sites Internet cités en référence; pour certaines d'entre elles, le concours d'aranéologues a été nécessaire (cf. infra « Remerciements »).

Plusieurs individus collectés immatures ont été conservés voire nourris jusqu'à leur maturité (il en est fait mention en annexe).

L'ensemble des spécimens a été conservé dans l'alcool (éthanol à 70°) en vue de leur identification.

A chaque fois que cela a été possible, les individus ont été photographiés dans leur habitat ou, à défaut, dans un milieu permettant la prise de vue. Des clichés sous loupe binoculaire ont également été réalisés. Précisons que plusieurs espèces pour lesquelles il n'a pas été possible de réaliser des clichés ont été illustrées à partir de photos issues du site d'Oger (2017).

L'ensemble des individus collectés est conservé au domicile de l'auteur, à l'exception des types de *Theridion bernardi* n. sp.

Les données de localisation (approximative) ont été obtenues depuis Google Earth.

Pour recouper les données et valider les identifications, déterminer des espèces locales non reprises sur les sites internet, rechercher des données d'écologie et de répartition, plusieurs publications et ouvrages ont été consultés parmi lesquels: Bolzern *et al.* (2013, pour la confirmation d'*Eratigena feminea*), Le Péru (2007, 2011), Lecigne (2012, 2014), Oger (2017), Pickard-Cambridge (1909), Roberts (1995), Simon (1874, 1875, 1881, 1932), Wunderlich (2011).

La nomenclature des espèces et auteurs est issue du World Spider Catalog (2017).

Résultats et discussion

La campagne de prospections a été relativement courte (7 jours) et a concerné à la fois un petit nombre de techniques de chasse et une très faible variété d'habitats. Néanmoins, ces investigations ont permis de rassembler 195 individus et d'aboutir à l'identification de 93 espèces soit un peu plus de 11% de l'aranéofaune nationale (la liste des araignées du Portugal – Nentwig *et al.,* 2017 - fait mention de 816 espèces répertoriées). Ceci confirme le fait que la connaissance de la faune du Portugal n'est encore que très partielle.

● Liste des espèces

La liste des espèces est présentée en Annexe.

Nous pouvons également préciser qu'au moins un individu, immature, appartenant à l'un des genres suivants n'a pu faire l'objet d'une détermination au niveau spécifique: *Ariadna*, *Gibbaranea*.

Au total, 27 familles sur les 50 et 57 (Nentwig *et al.*, 2017) que compte respectivement la faune portugaise et l'aranéofaune ibérique sont représentées, incluant 1 famille (Segestriidae) pour laquelle nous ne disposons pas de données spécifiques. A elles seules, les Salticidae représentent 18,3% de l'ensemble des espèces recensées (soit 17 espèces), suivies par les Theridiidae (17,2%), les Philodromidae (10,8%), les Linyphiidae (8,6%), les Lycosidae et les Gnaphosidae (7,5% chacune). Ces 7 familles représentent à elles seules près de 70% des espèces recensées. Ces ratio ne sont fournis qu'à titre indicatif et sont le reflet des modes de prospections mis en oeuvre par l'observateur, en nombre et en durée trop limités pour autoriser une quelconque extrapolation.

Par ailleurs, les investigations menées en avril 2017 et rapportées dans le présent texte permettent d'ajouter au total 5 espèces à la liste de référence du Portugal: *Anatolidion gentile* (également nouveau pour la Péninsule Ibérique) (Fig.8), *Ozyptila perplexa* (s'agissant également d'une redécouverte pour la faune ibérique – Simon 1875 – et plus largement pour les 3 pays qui constituent son aire de répartition connue dont les dernières données d'observation sont toutes antérieures à 1932) (Fig. 12, 17), *Pellenes brevis* (Fig.13), *Pulchellodromus simoni* (Fig. 13) et *Theridion bernardi* (Fig. 4-6), nouvelle espèce pour la science dont nous proposons ici la description du mâle et de la femelle (cf. infra « Commentaires sur les espèces notables »). Il s'agit d'un nouveau représentant du groupe *Theridion melanurum* en Europe pour lequel les éléments de diagnose présentés permettent de le distinguer de *T. mystaceum* dont il est relativement proche.

Parmi les espèces endémiques de la Péninsule Ibérique (Cardoso et Morano, 2010), une a été contactée durant ce séjour: *Holocnemus hispanicus*. L'endémisme éventuel de *Theridion bernardi* n. sp. reste à démontrer.

Plusieurs autres *taxa* intéressants (connaissance pauvre, peu de citations à ce jour pour le Portugal voire la Péninsule Ibérique) sont à signaler. Citons par exemple *Ero flammeola* (espèce nouvelle pour la faune portugaise et redécouverte pour l'aranéofaune ibérique), *Scotophaeus nanoides* et *Theridion harmsi*, 2 espèces récemment décrites (Wunderlich, 2011) dont la présente publication rapporte de nouvelles observations ou encore *Titanoeca praefica*, espèce qui peut être qualifiée de rare sur l'ensemnle de son aire de répartition et pour laquelle nous ne disposons que de très peu de données pour la Péninsule Ibérique dont plusieurs très anciennes. On notera également à propos d'un représentant du genre *Lathys*, qu'il ne nous a pas été possible de confirmer pour l'instant la présence effective de *L. affinis* pour le Portugal et nous proposons de considérer cet individu femelle sous l'appellation *Lathys* cf. *affinis* (Blackwall, 1862); un dessin de la vulve est joint à l'analyse comparative établie avec plusieurs descriptions d'auteurs (cf. infra « Commentaires sur les espèces notables »). Par ailleurs, 40 espèces sont nouvelles pour le district de Faro, parmi lesquelles *Heliophanus agricola*, *Lasaeola testaceomarginata*, *Titanoeca praefica*, *Trabea paradoxa*, *Zelotes criniger*, *Zelotes lagrecai* ou encore *Xysticus nubilus,* dont nous soulignons et illustrons pour cette espèce méditerranéenne et de Macaronésie, d'assez grandes variations de l'épigyne. Enfin, citons également *Arctosa fulvolineata* pour laquelle très peu de données sont actuellement rapportées pour l'aranéofaune ibérique.

● Commentaires sur les espèces notables

Nous apportons pour ces espèces des précisions sur l'habitat de découverte, la répartition géographique et l'écologie, le cas échéant.

DICTYNIDAE

***Lathys* cf. *affinis* (Blackwall, 1862)** (Fig. 3, 11G-J)

Lathys affinis n'est actuellement connue que de l'archipel de Madère. Crespo *et al.* (2013) rapportent de récentes observations de l'espèce de l'archipel dont plusieurs de Deserta Grande.

A l'occasion de ce séjour, un individu femelle du genre *Lathys* a été collecté au battage d'arbustes. Cet individu a été comparé à 2 spécimens du Museum Senckenberg de Frankfort: SMF 62619 (fam 94 Dictynidae), *Lathys affinis* (Blackwall, 1862), 1 femelle adulte, Iles Canaries, Gran Canaria, Tamadaba, 1300 m, Juin [année non connue], J. Wunderlich leg. & det. Cet individu se rapporterait en définitive à *Lathys sexpunctata* (Simon, 1878) (T. Blick, comm. pers.); SMF 62669 (fam 94 Dictynidae), *Lathys* cf. *affinis* (Blackwall, 1862), 2 femelles adultes, 1 epigyne separée, Iles Canaries, El Hierro, au-dessus de Frontera, juillet [année non connue], J. Wunderlich leg. & det. Il s'agit probablement de *L. affinis* (T. Blick, comm. pers.). L'individu collecté est similaire à ce second spécimen.

Il n'a cependant pas été possible de le comparer avec l'holotype de Madère décrit par Blackwall (1862) dont Lehtinen (1967) suppose qu'il se trouve probablement à Oxford. La description établie par Blackwall est très peu explicite quant à l'épigyne/vulve et ne fournit aucun dessin ni aucune diagnose.

La description de l'individu femelle de Madère (Ile Deserta Grande) décrit par Denis (1962) sous l'appellation *Lathys atlantica* est également peu détaillée. Il existe cependant plusieurs points de convergences (notamment ligne oculaire postérieure procurvée, présence à l'arrière de l'abdomen de 3 accents assez nets) et le dessin de l'épigyne (Fig. 3E) proposé par l'auteur présente également une similitude certaine. Notons cependant que les 2 ouvertures génitales sont ovoïdes sur la figure de Denis, davantage circulaire sur notre individu (flèche blanche, Fig. 3G). Par ailleurs, Denis représente des spermathèques et/ou canaux en position antérieure quand ces éléments apparaissent par transparence en position latérale par

rapport aux ouvertures pour notre exemplaire de l'Algarve (flèche noire, Fig.3G).

Kulczyński (1899) a également décrit la femelle de *Lathys affinis* sous cette même appellation (individu de l'île de Madère, sans autre précision) (Fig. 3A-C) ainsi que sous l'appellation *Lathys decolor* (individu de Porto Santo, archipel de Madère) (Fig. 3D), ces 2 espèces ayant ensuite été synonymisées. Les représentations de l'épigyne sont conformes à celle de notre exemplaire (Fig. 3G). Il indique en outre à propos de *L. decolor* qu'elle diffère de *L. affinis* par une plus grande taille et une couleur différente. A propos de la couleur, il précise cependant en décrivant *L. affinis* « Color sat mutabilis » (que nous pouvons traduire par 'couleur assez variable'), rendant de fait ce critère peu discriminant. Par ailleurs, les dessins de l'habitus des 2 espèces (Fig. 3A, D) présentent de grandes similitudes avec le motif de notre exemplaire (Fig. 3H). Pour ce qui concerne la taille, Kulczyński (1899) indique une longueur du prosoma pour *L. decolor* effectivement sensiblement plus grande (1.15mm) que pour son exemplaire de *L. affinis* (1.05mm). On notera cependant que le rapport Longueur (L) / largeur (l) est plus faible pour la seconde avec respectivement une valeur L/l de 1.4 et 1.32. L'exemplaire capturé lors de ce séjour présente une longueur de prosoma de 0.77mm et un ratio L/l de 1.22. Cet individu est sensiblement plus petit que ceux décrits par Kulczyński; cependant, L. Crespo indique à propos des différents exemplaires étudiés sur l'archipel de Madère (Crespo *et al.*, 2013) de ce qui semble être la même espèce (*L. affinis*) qu'il a observé un large degré de variation considérant uniquement les caractères morphologiques, et des variations considérables en termes de tailles (comm. pers.). Le critère de la taille apparaît par conséquent et de fait également peu discriminant.

En définitive, il existe de nombreux points de convergences (notamment par comparaison de dessins de l'épigyne) entre notre exemplaire de l'Algarve et les decriptions établies par plusieurs auteurs de l'espèce *Lathys affinis* (Blackwall, 1862). Cependant, il ne nous a pas été possible de comparer cet exemplaire avec un individu de référence qui aurait entre autre permis d'évaluer la vue dorsale de la vulve. Par conséquent et dans l'attente de données complémentaires, il ne nous est pas possible de confirmer pour l'instant la présence effective de *L. affinis* pour le Portugal et nous proposons de considérer cet individu femelle sous l'appellation *Lathys* cf. *affinis* (Blackwall, 1862).

GNAPHOSIDAE

***Scotophaeus nanoides* Wunderlich, 2011** (Fig. 14G-I, 17G-I)

S. nanoides, qui n'a que tout récemment été décrite (Wunderlich, 2011), n'est à ce jour connue que du Portugal. L'individu collecté en avril 2017 à Olhos de Água ne se situe qu'à environ 25km de Sao Bras de Alportel (ville y compris située dans le district de Faro) à proximité de où a été trouvé l'holotype. Il s'agit donc d'une nouvelle donnée d'observation pour le Portugal et le district de Faro. L'individu mâle, trouvé subadulte sous l'écorce d'un pin, a mué en captivité. Il présentait alors une taille de 7mm. Nous proposons plusieurs vues de cette espèce encore peu connue (Fig. 14GI) ainsi que 3 dessins du palpe (Fig. 17 G-I). L'individu est conservé au domicile de l'auteur.

LYCOSIDAE

***Arctosa fulvolineata* (Lucas, 1846)** (Fig. 8I-L)

L'espèce est assez largement distribuée; elle est connue de Turquie jusqu'en Europe (Nentwig *et al.*, 2017). Pour la Péninsule ibérique, les observations restent rares; seulement 6 séries de données sont rapportées dont 3 pour le Portugal et 3 pour l'Espagne (2 pour Majorque) (Morano *et al.*, 2014). Barrientos & Fernández (2015) ajoutent une station supplémentaire pour la Péninsule Ibérique, en zone de marais dans le Delta de Llobregat (Catalogne).

En Algarve, un couple a été trouvé dans la localité de Quarteira (annexe), sur le littoral au bord d'un plan d'eau sous des oyats couchés; cette observation est cohérente avec ce que l'on connaît des préférences d'*A. fulvolineata* qui est une espèce de milieux humides observée essentiellement en zone littorale, sous des joncs en estuaire, dans des marais salant, sansuïres, ainsi qu'en bord d'étang (Le Péru, 2007; Nentwig *et al.*, 2017). Bacelar (1928, 1940) rapporte par ailleurs 2 données du Portugal où l'espèce aurait été observée à l'intérieur des terres, sans autre précision quant à la nature de l'habitat.

MIMETIDAE

***Ero flammeola* Simon, 1881** (Fig. 10A-F)

E. flammeola est une espèce globalement méditerranéenne dont l'aire de distribution s'étend du Portugal jusqu'en Israël; elle est également présente sur les Iles Canaries (World Spider Catalog, 2017). Elle apparaît a priori comme étant très peu fréquente; il s'agit d'une redécouverte pour la faune portuguaise pour laquelle l'espèce n'a jusqu'à présent fait l'objet que de deux citations historiques sous l'appellation *Ero liguria* (dans Kulczynski, 1911) et *Ero flammeola* (dans Machado, 1941). L'écologie de cette espèce est méconnue; en France, *E. flammeola* n'est connue que de trois stations et sa présence est rapportée d'un jardin (sous des pare-feuilles), d'un sous-bois de chênes (sur sol caillouteux couvert de mousse et de litière) et d'une habitation (jardin et véranda). Thaler *et al.* (2004) rapportent également sa présence en Italie dans des bâtiments, en Grèce dans une pinède, sous des pierres et le long de petits ruisseaux, sur Ténérife en terrasse abandonnée. Il semblerait qu'aux abords des limites septentrionales de son aire de répartition, elle soit davantage présente à l'intérieur des bâtiments.

PHILODROMIDAE

***Pulchellodromus simoni* (Mello-Leitão, 1929)** (Fig.13N-P)

P. simoni, qui n'est actuellement connue que d'Algérie et d'Espagne, est nouvelle pour le Portugal (Morano *et al.*, 2014). Muster *et al.* (2007) rapportent une dizaine d'observations exclusivement sur les côtes espagnoles et algériennes, la présence de l'espèce (5 données à Olhos de Água) sur les côtes de l'Algarve est cohérente avec la suggestion de ces auteurs d'une espèce ouest méditérranéenne dont le Portugal serait la nouvelle limite la plus à l'ouest de son aire de répartition. A Olhos de Água, les individus ont été collectés à la fois par battage de résineux et par chasse à vue au sol dans une pelouse sèche et éparse.

SALTICIDAE

***Pellenes brevis* (Simon, 1868)** (Fig. 13D-E)

L'espèce est déjà connue d'Espagne, de France jusqu'en

Turquie et en Ukraine. De fait, la présence de *P. brevis* au Portugal n'est pas surprenante et en fait une espèce nouvelle pour le pays (Morano *et al.*, 2014) ce qui étend un peu plus vers l'ouest sa présence et fait du Portugal la nouvelle limite occidentale connue de son aire de répartition. En France, elle est connue d'une quinzaine de départements mais n'a fait l'objet que de relativement peu de citations. En Espagne, sa présence est surtout notée dans la Province de Madrid, avec une seule citation par ailleurs dans la Province de Barcelone (Montseny) (Morano *et al.*, 2014). Sa présence est rapportée en forêt de feuillus mais également dans des champs, prairies et pelouse (Le Péru, 2007); l'individu de l'Algarve a été observé en prairie sèche, au sol.

THERIDIIDAE

***Anatolidion gentile* (Simon, 1881)** (Fig. 8C-H)
A. gentile est présent de l'Italie jusqu'en Turquie et en Afrique du Nord (Nentwig *et al.*, 2017). Oger *et al.* (2017) ont tout récemment rapporté sa présence dans le sud de la France. La présente donnée étend ainsi davantage encore vers l'ouest l'aire de répartition de cette espèce constituant avec le Portugal sa nouvelle limite occidentale de distribution. Il s'agit d'une espèce supplémentaire pour la Péninsule ibérique.

Le Péru (2011) précise que cette espèce est généralement trouvée dans les marais et les herbes hautes. Oger *et al.* (2017) ont observé l'espèce dans un ourlet xérique en bord de route ainsi que sur les schorres le long d'un étang; Knoflach *et al.* (2009) rapportent sa présence sous des grumes de chênes dans un bois ainsi que dans des fleurs couchées et dans des herbes entre des chênes. Par ailleurs, Kommenov (2014) cite une donnée dans un pâturage. L'exemplaire du Portugal a été observé dans une prairie sèche, au sol parmi des herbes courtes. Il semble par conséquent que l'espèce ne présente pas d'exigences ecologiques strictes, elle s'accoutume de milieux ouverts ou boisés, secs ou à tendance humide.

***Theridion bernardi* n. sp.** (Fig. 4, 5 & 6)
Nous proposons une description du mâle et de la femelle de ce nouveau représentant du groupe *Theridion melanurum* sensu Wunderlich (2011).

INTRODUCTION. At the time, four of the ten European/ Mediterranean species of the *melanurum*-group (according to Wunderlich 2011 and Vanuytven 2014) are present in the Iberian Peninsula: *T. harmsi* Wunderlich, 2011, *T. malagaense* Wunderlich, 2011, *T. melanurum* Hahn, 1831 and *T. mystaceum* L. Koch, 1870, so *T. bernardi* represents the fifth species of the group and the fourth one for the Portugal (*T. malagaense* being present only in Spain and Italy, Wunderlich 2011).

METHOD. For measurements, an eyepiece micrometer was used; all measurements are in mm. Epigyne was cleaned using methyl salicylate. Geographical coordinates and altitude were obtained respectively using Google Earth (Geofree for conversion) and Google maps. Abbreviations are as follows: male palps: C, conductor; Cy, cymbium; E, embolus; ST, subtegulum; T, tegulum; TTA, theridiid tegular apophysis (nomenclature follows Agnarsson 2004 and Agnarsson *et al.* 2007). Female epigynum/vulva: CD, copulatory ducts; CO, copulatory openings; EC, epigynal cavity; RS, receptacula seminis. Eyes: AME, anterior median eyes; ALE, anterior lateral eyes; PME, posterior median eyes; PLA, posterior lateral eyes.

TYPE MATERIAL. Holotype male, Portugal: Faro District, Albufeira Municipality, Olhos de Água Village, x = −299536,52 – y = 5621221,96 (Lamb. 93) (Fig. 1), alt. 17m, beating shrubs, 17 april 2017, leg. S. Lecigne. Paratype: 1 femelle, Portugal: Faro District, Albufeira Municipality, Olhos de Água Village, x = -300021,63 – y = 5621289,73 (Lamb. 93), alt. 23m, hand collecting, 16 april 2017, leg. S. Lecigne. Deposited in the Museum National d'Histoire Naturelle de Paris (ref.AR 15721). Remark: left male pedipalpus as well as opisthosoma and vulva of the female are separated.

DIAGNOSIS. Males of *T. bernardi* can be distinguished from *T. mystaceum* by the tip of conductor which gets an inconspicuous hollow (white arrow full line, Fig. 5D & L) and by the shape both of the TTA and the basal part of the conductor (white arrow dashed line, Fig.5B & K). Ventrally, unlike *T. asopi* and *T. betteni*, the tegulum bears no pointed distal outgrowth (black arrow dashed line, Fig. 5 C, E & F). On the other hand and unlike *T. melanurum*, distal margin of the tegulum is oblique (black arrow dashed line, Fig. 5 C & I). Males of *T. bernardi* can be distinguished from the other members of the *T. melanurum* species-group especially by the shape both of the embolus and the conductor.

About the females, the size and the shape of the copulatory ducts are different from those of the other species of the *melanurum*-group (cf. infra "Comments"). In *T. bernardi,* they are very long and densily coiled (Fig. 6D) unlike *T. betteni*, *T. helena* and *T. musivivum*, for which they are short. Females can too be distinguished from *T. melanurum* and *T. cairoense* by the shape of the epigynal cavity (Fig. 6 G). In *T. bernardi* it doesn't protuding posteriorly (black arrow, Fig. 6C). In *T. mystaceum*, the copulatory openings are widely spaced and so very close to the edge of the epigynal cavity (white arrow, Fig. 6I), while *T. bernardi* has the copulatory openings not widely spaced from each other (white arrow, Fig. 4C & 6D). Furthermore in *T. mystaceum*, the copulatory ducts seem to be shorter and less densily coiled (Fig. 6 J). *T. harmsi* gets relative thin walls of the *receptacula seminis* while those of *T. bernardi* are thicker.

DESCRIPTION. *T. bernardi* presents all characteristics of the *T. melanurum* species-group. The habitus, colour pattern and overall appearance of genital organs are the same as in other members. In addition, the conductor possesses tiny denticles and the epigyne forms a large depression with two small openings to the spermathecae as in the other species.

HOLOTYPE MALE:

Measurements: Total length 2.82; abdomen 1.50; cephalothorax length 1.27, width 1.06. Leg I : 7, femur 2.02, patella 0.58, tibia 1.87, metatarsus 1.93, tarsus 0.65, tibia II 1.03, tibia III 0.6, tibia IV 0.9.
Color: Carapace yellowish-brown with blackish V-shaped spot anterior to fovea but not reaching eyes; sides blackish, less marked than female. Sternum blackish-yellow with thin black border. Legs pale with darker parts (less visible on femur III-IV) especially visible on ventral surface, patella brownish. Body like in *T. melanurum*: dorsal abdomen with light, dentate line, bordered with black. Ventral side coloration like female.

Table I: Measurements of male and female *T. bernardi* n. sp. and ten closely related *Theridion* species.

Male / Female	n	Body length	Prosoma length	Prosoma width
T. bernardi	1 / 1	2.8 / 3.5	1.27 / 1.23	1.06 / 1.10
T. asopi	22 / 75	3.1 (2.7-3.4) / 3.6 (2.6-4.6)	1.4 (1.1-1.5) / 1.3 (1.0-1.5)	1.2 (1.1-1.3) / 1.2 (1.0-1.5)
T. betteni	4 / 6	2.7 (2.2-3.1) / 3.2 (2.7-3.6)	1.3 (1.1-1.4) / 1.2 (1.0-1.4)	1.1 (0.9-1.2) / 1.1 (0.9-1.2)
T. bosniense	1 / -	3.0 / -	1.35 / -	1.1 / -
T. cairoense	4 / 2	2.6-3.6 / 4.0-4.5	1.2-1.8 / 1.5	1.1-1.5 / 1.5
T. harmsi	10 / -	2.6 / -	1.1 / -	0.95 / -
T. helena	2 / 2	- / 3.3-3.8	1.4-1.6	1.15-1.25
T. malagaense	2 / -	2.4-3.1 / -	1.15-1.3 / -	1.0-1.15 / -
T. melanurum	12 / 38	3.6 (3.1-3.9) / 3.8 (2.6-5.0)	1.4 (1.3-1.7) / 1.4 (1.0-1.7)	1.3 (1.1-1.4) / 1.2 (1.0-1.7)
T. musivivum	-	2.9-3.7	-	-
T. mystaceum	20 / 41	2.5 (2.1-2.9) / 3.0 (2.2-4.0)	1.1 (0.8-1.3) / 1.0 (0.9-1.2)	1.1 (0.8-1.1) / 1.0 (0.8-1.1)

Eyes: eyes large; posterior row straigth. Dark circle around eyes. Two long forward-pointed setae on the upper line consisting of the AME.
Chelicera: yellowish-brown. Basal cheliceral articles long and slender. Length 0.57. Anterior margin of the cheliceral furrow with a tooth.
Legs: sequence of the tibial bristles 2/2/1/2. Relative position of spines on tibia I 0.29, 0.72. Metatarsi I-III bear a trichobothrium; relative position on metatarsus 0.40.
Male-pedipalpus: structure as Fig. 5 B-D. See also drawings (Fig. 4A-C). Distal margin of the tegulum oblique (black arrow dashed line, Fig. 5C), basal part of the embolus quite flattened, wider than height (ratio: 1.38) (white arrow full line, Fig. 5B) and sharply narrowed (white arrow dashed line, Fig. 5B), median part continuously bent, apically more clearly bent (black arrow full line, Fig. 5B, better visible on the ventral view: Fig. 5C). Duct visible through the tegulum forming a loop (white arrow, Fig. 5C). Tip of conductor with denticles and hollow weakly marked (white arrow full line, Fig. 5D & 4C). TTA also with numerous small denticles (white arrow dashed line, Fig. 5D).
Other details: clypeus bears a pair of bulges. Opisthosoma oval, covered with long and short hairs, slender in the male. Epigastric region swollen. No colulus.

PARATYPE FEMALE:

Measurements: total length 3.47; abdomen 2.0; cephalothorax length 1.23, width 1.10. Leg I: 7.59 Femur 2.7, patella 0.67, tibia 1.68, metatarsus 1.87, tarsus 0.67, tibia II 0.9, tibia III 0.57, tibia IV 0.97.
Color: cephalothorax yellowish-brown with a black heart-shaped spot anterior to fovea and broad, dark edge not reaching the anterior part, sides blackish (Fig. 6A). Sternum blackish except a brownish area behind the labium. Legs pale with very few dark marks. Abdominal pattern like male, however, the black border of the abdominal light dentate line is more visible on the posterior part; some darker, broad lines run parallel from center over lateral sides of abdomen. Ventral side with a large white spot situated above spinnerets. Spinnerets bordered by thick black line (Fig. 6B).
Eyes: as in male.
Chelicera: as in male. Length 0.47.
Legs: as in male. Relative position of spines on tibia I 0.32, 0.75.
Epigyne/vulva: structure as Fig. 6B-D. See also drawings (Fig. 4D-E). Epigynal cavity wider than heigth (ratio: 1.14), slightly flattened posteriorly (black arrow full line, Fig. 6C), lateral margins distinctly sclerotized (black arrow dashed line, Fig. 6C). Depression widest in the middle. Copulatory openings in a median position, not widely spaced (Fig. 6C), ovoïd, large (0.033) sclerotized on their inner margin (white arrow, Fig. 6C). Copulatory ducts very long and densily coiled; *receptacula seminis* touching each one and with thick walls (Fig. 6D). No mating plug was present.
Other details: abdomen more spherical than in male. No colulus.

HABITAT: holotype male in a shrubland, near a hotel complex; paratype female in a hotel complex on a low wall.

DISTRIBUTION: known from the type locality only.

DERIVATIO NOMINIS: the name of this new *Theridion* refers to my father, Bernard Lecigne, who left us far too early. I dedicate this work to him with great passion, pride and humility.

COMMENTS: among all the species of the *Theridion melanurum* group, both sexes and especially the female of *Theridion bernardi* n. sp. present the most resemblances with *T. mystaceum* widely distributed and present in Portugal and in Algarve. For this reason, it has probably ever been misidentified as one of these.

The diagnosis focuses on differences between those two species in order to facilitate their distinction.

We also present (tab. I) the measurements of male and female of *T. bernardi* n. sp. and ten closely related *Theridion* species (data from Wunderlich 2011 and Vanuytven 2014, completed with personal data from *T. bernardi*).

***Theridion harmsi* Wunderlich, 2011** (Fig. 15B-E)
T. harmsi est une espèce récemment décrite (Wunderlich, 2011) et actuellement connue du Portugal (District de Faro), d'Espagne (Provinces de Murcie et de Huesca, ainsi que l'île de Majorque) et de France (Département de l'Hérault). Il s'agit ici encore de 4 données supplémentaires pour le district de Faro: localité d'Albufeira et endroit situé entre Moinho da Rocha et Casas Velhas. Les 2 mâles collectés mi-avril 2017 mesurent entre 2.9 et 3mm (Fig. 15 B-E) tandis que les 2 femelles, immature ou subadulte mesurent respectivement 2.3 et 2.7mm.

Il semblerait que cette espèce, comme plusieurs autres représentants du groupe *melanurum*, s'accomode de milieux anthropiques puisqu'elle a été collectée non seulement en milieu naturel au battage de branchages morts (résultant d'un feu de végétation) mais également en milieu urbain, en centre ville dans des adventices situées dans le recoin des marches d'un petit escalier.

THOMISIDAE

***Ozyptila perplexa* Simon, 1875** (Fig. 12L-O & 17E-F)
O. perplexa est une espèce qui est relativement peu distribuée et qui apparaît a priori comme étant très peu fréquente. Elle n'est, à ce jour, connue que d'Algérie, d'Espagne et de France (Nentwig *et al.*, 2017). Avant cette redécouverte, nous ne disposions que de rares données relativement anciennes (antérieures à 1932) et ne concernant en définitive que 5 localités: Algérie (sans précision de date ni de lieu, Simon 1932); Espagne (Aranjuez, sans précision de date, Simon 1875); France: Ariège (sans précision de date ni de localité, individu mâle, Simon 1875), Pyrénées-Orientales et Lozère (Le Malzieu, dans un marais, individu mâle, Dalmas, juin 1917) (Simon, 1932). Son écologie est largement méconnue, seul Dalmas (dans Simon, 1932) apporte une précision d'habitat pour son observation de 1917 – Marais – ce qui, avec l'observation faite en Algarve, en bord de rivière sous des carex morts, tendrait à indiquer que l'espèce aurait des préférences pour les lieux humides et plutôt abrités sous la végétation. Ceci pourrait partiellement expliquer que cette espèce, de petite taille (l'individu mâle capturé à Rasmalhos ne mesurait que 2.5mm) et aux moeurs discrètes, ne soit que si peu observée. La sténoécie de l'espèce reste à confirmer mais l'ensemble de ces éléments permettraient d'expliquer son niveau apparent de rareté. Notons que l'espèce est nouvelle pour le Portugal; il s'agit par ailleurs d'une redécouverte pour la faune ibérique.

***Xysticus nubilus* Simon, 1875** (Fig. 7A-D, 16F-G & 17J-K)
X. nubilus est une espèce méditerranéenne et de Macaronésie (World Spider Catalog, 2017) dont l'aire de distribution semble relativement étendue, depuis le Portugal jusqu'en Géorgie (Nentwig *et al.*, 2017). Au Portugal et en Espagne, elle semble assez fréquente; on notera cependant l'absence de données d'observation au nord d'une ligne s'étendant de Valladolid à Valence (Morano *et al.*, 2014). En France, *X. nubilus* a fait l'objet d'observations en Corse mais sa présence sur le continent se résume à deux données historiques, l'une de "Basses-Alpes" (Digne) (Simon, 1875) et l'autre de Lozère de 1922 (Simon, 1932)

On notera à propos de cette espèce d'assez grandes variations intra-spécifiques de l'épigyne, comme il est également possible de l'observer pour d'autres espèces du genre et par exemple *X. cristatus* (Clerck, 1758). Simon (1932) précise à propos de la fossette génitale de *X. nubilus* qu'elle est "divisée dans toute sa longueur par un étroit septum brun". Celuici s'avère parfois épais et très foncé (Fig. 7A), parfois plus clair (Fig. 7B). Sur l'exemplaire du Portugal collecté lors de ce séjour, ce septum n'est pas apparent, donnant l'impression d'une seule et grande ouverture cordiforme dans la plaque génitale. Enfin, nous pouvons également noter que lorsque le septum est apparent, la forme des 2 ouvertures présente elle aussi des variations, parfois oviforme (exemplaire d'Algérie) et de fait similaire au dessin de Simon (1932) (fig. 1236), parfois au contour irrégulier (exemplaire de corse).

TITANOECIDAE

***Titanoeca praefica* (Simon, 1870)** (Fig. 15F-H)
L'espèce peut être qualifiée de rare quels que soient les pays pour lesquels sa présence est avérée: en France (2 citations des Pyrénées-Orientales) (Simon, 1874), en Russie (2 citations ainsi qu'une troisième de Bachkirie) (Esyunin *et al.*, 1995), en Algérie (sans précision de date ni de lieux) (Hubert, 1966), en Espagne (3 citations dont 2 antérieures à 1900) et au Portugal (2 citations) (Morano *et al.*,2014). *T. praefica* ne montre pas d'exigences écologiques strictes puisqu'elle a été rencontrée dans une assez grande variété d'habitats: dans la steppe (sous une pierre), en poljé, dans une brousse, en pâturage, en forêt de chênes-lièges et à Olhos de Água en zone littorale, dans la végétation rase en pied de falaise.

Remerciements

J'adresse mes remerciements tout particulièrement à Pierre Oger pour la qualité des photos ayant permis d'illustrer ce texte ainsi que pour son aide et l'identification ou la confirmation de plusieurs espèces parmi lesquelles *Anatolidion gentile*, *Ero flammeola, Lasaeola testaceomarginata*, *Theridion harmsi, Titanoeca praefica* ou encore *Zelotes lagrecai*. Je remercie par ailleurs Robert Bosmans pour avoir identifié *Trachyzelotes holosericeus* et confirmé plusieurs autres espèces. Sont également remerciés Théo Blick, Rainer Breitling, Luis Crespo, Peter Jaëger et Yuri Marusik pour les nombreux échanges à propos de *Lathys affinis;* Marcel-Raymond Cruveillier, Antonio Melic et Carmen Urones à propos de *Xysticus nubilus*, le directeur de la revue ainsi que les membres du comité de lecture pour avoir rendu possible la publication de ce travail et amélioré la présentation des résultats.

Références bibliographiques

AGNARSSON, I. 2004. Morphological phylogeny of cobweb spiders and their relatives (Araneae, Araneoidea, Theridiidae). *Zoological Journal of the Linnean Society,* **141**: 447-626.

AGNARSSON, I., J. A.CODDINGTON & B.KNOFLACH 2007. Morphology and evolution of cobweb spider male genitalia (Araneae, Theridiidae). *Journal of Arachnology,* **35**: 334-395.

BACELAR, A. 1928. Aracnidios Portugueses III. *Bulletin da Sociedade Portuguesa de Sciencias Naturais,* **10**: 169-203.

BACELAR, A. 1940. Aracnídeos portugueses VI (continuação do inventário dos aracnideos). *Boletim da Sociedade Portuguesa de Ciencias Naturais* **13**: 99-110.

BARRIENTOS, J. A. & D. FERNANDEZ 2015. Arañas (Arachnida, Araneae) del delta del Llobregat (Barcelona, España); primeros datos. *Revista Ibérica de Aracnología,* **27**: 127-135(*).

BLACKWALL, J. 1862. Descriptions of newly-discovered spiders from the island of Madeira. *Annals and Magazine of Natural History,* (3) **9**: 370-382.

BOLZERN, A., D. BURCKHARDT & A.HÄNGGI 2013. Phylogeny and taxono my of European funnel-web spiders of the *Tegenaria-Malthonica* complex (Araneae : Agelenidae) based upon morphological and molecular data. *Zoological Journal of the Linnean Society,* **168**: 723-848.

CARDOSO, P. 2011. Portugal spider catalogue (v3.0). Available online at http://www.ennor.org/catalogue.php

CARDOSO, P. & MORANO, E. 2010. The Iberian spider checklist (Araneae). *Zootaxa,* **2495**: 1-52.

CRESPO, L. C., I. SILVA, P. A. V. BORGES & P. CARDOSO 2013. Rapid biodiversity assessment, faunistics and description of a new spider species (Araneae) from Desertas Islands and Madeira (Portugal). *Revista Ibérica de Aracnología,* **23**: 11-23(*).

DENIS, J. 1962. Les araignées de l'archipel de Madère (Mission du Professeur Vandel). *Publicações do Instituto Zoologia Doutor Augusto Nobre,* **79** : 1-118.

ESYUNIN, S. L. & V. E. EFIMIK 1995. Remarks on the Ural spider fauna, 4. New records of spider species (excluding Linyphiidae) from the Urals (Arachnida Aranei). *Arthropoda Selecta,* **4**(1): 71-91.

HUBERT, M. 1966. Remarques sur quelques espèces d'araignées appartenant au genre *Titanoeca* Thorell, 1870. *Bulletin du Muséum National d'Histoire Naturelle de Paris,* **38**: 238-246.

KNOFLACH, B., C. ROLLARD & K.THALER 2009. Notes on Mediterranean Theridiidae (Araneae) - II. *ZooKeys,* **16**: 227-264.
KOMNENOV, M. 2014. Spider fauna of the Osogovo Mt. Range, Northeastern Macedonia. *Fauna Balkana,* **2**: 1-267.
KULCZYNSKI, W. 1899. Arachnoidea opera Rev. E. Schmitz collecta in insulis Maderianis et in insulis Selvages dictis. *Rozprawy i Sprawozdania z Posiedzen Wydzialu Matematyczno Przyrodniczego Akademji Umiejetnosci, Krakow,* **36**: 319-461.
KULCZYNSKI, W. 1911. Fragmenta arachnologica, IX. XVII. Araneae nonnullae Europeae. In: Pavesi, P., Studi sugli *Aracnidi*. Annali di Museo Civico di Storia Naturale di Genova, **15** : 282-388.
LE PERU, B. 2007. Catalogue et répartition des araignées de France. *Revue Arachnologique*, 16: 1-468.
LE PERU, B., 2011. The Spiders of Europe, a synthesis of data: Volume 1, Atypidae to Theridiidae. *Bulletin mensuel Société Linnéenne de Lyon,* **2**: 1-522.
LECIGNE, S. 2012. Inventaire aranéologique (Arachnida, Araneae) dans la ville d'Estepona (Malaga, Espagne). *Revista Ibérica de Aracnología,* **21**: 161-167(*).
LECIGNE, S. 2014. Contribution à l'inventaire aranéologique (Araneae) des Pyrénées-Orientales (Languedoc-Roussillon, France). *Revue Arachnologique,* 2 **1**: 18-28.
LEHTINEN, P. T. 1967. Classification of the cribellate spiders and some allied families, with notes on the evolution of the suborder Araneomorpha. *Annales Zoologici Fennici,* **4**: 199-468.
LISSNER, J. & R. BOSMANS 2016. Description of a new *Gibbaranea* (Araneae: Araneidae) from the Western Mediterranean. *Arachnologische Mitteilungen/Arachnology Letters,* **52**: 25-30.
LISSNER, J. 2017. New records of spiders (Araneae) from Portugal. *Arachnologische Mitteilungen/Arachnology Letters* **54**: 52-58.
MACHADO, A. de B. 1941. Araignées nouvelles pour la faune portugaise (II). *Memorias e Estudos do Museu Zoologico da Universidade de Coimbra,* **117**: i-xvi, 1-60.
MELIC, A., A. SILVA, M.I. PATANITA, S.A.P. SANTOS, J. BENHADI-MARIN & J. A. BARRIENTOS 2016. Three new species of Gnaphosidae (Arachnida, Araneae) collected in Iberian Peninsula. *Revista Ibérica de Aracnología* **28**: 107-113(*).
MORANO, E., J.CARRILLO & P. CARDOSO 2014. Iberian spider catalogue (v3.1). Available online at http://www.ennor.org/iberia
MUSTER, C., R. BOSMANS & K. THALER 2007. The *Philodromus pulchellus*-group in the Mediterranean: taxonomic revision, phylogenetic analysis and biogeography (Araneae: Philodromidae). *Invertebrate Systematics,* **21**: 39-72.
NENTWIG, W., T. BLICK, D. GLOOR, A. HÄNGGI & C. KROPF. Spiders of Europe. www.araneae.unibe.ch. Version 4.10.2017.
OGER, P. 2017. Les araignées de Belgique et de France. http://arachno.piwigo.com/.
OGER, P., S. DANFLOUS & J. VAN KEER 2017. Découverte en France continentale d'*Anatolidion gentile* (Simon, 1881) (Araneae: Theridiidae)). *Revue Arachnologique, série* 2 **4**: 9-10.
PICKARD-CAMBRIDGE, O. 1909. Arachnida. In: Additions to the Wild Fauna and Flora of the Royal Botanic Gardens, Kew. IX. *Bulletin of miscellaneous information, Royal Botanic Gardens, Kew* 1909, 246-250.
ROBERTS, M. J. 1995. *Spiders of Britain and Northern Europe*. Collins Field Guide. HarperCollins Publishers. London. 383 pp.
SIMON, E. 1874. *Les arachnides de France*. Paris 1, 1-272.
SIMON, E. 1875. *Les arachnides de France*. Paris 2, 1-350.
SIMON, E. 1881. Descriptions d'Arachnides nouveaux d'Espagne et de Portugal. *Anales de la Sociedad Espanola de Historia Natural,* **10**: 133-136.
SIMON, E. 1932. *Les arachnides de France. Synopsis générale et catalogue des espèces françaises de l'ordre des Araneae. Tome VI. 4e partie*. Roret, Paris, 773-978.
THALER, K., A. VAN HARTEN & B. KNOFLACH 2004. Pirate spiders of the genus *Ero* C.L. Koch from southern Europe, Yemen, and Ivory Coast, with two new species (Arachnida, Araneae, Mimetidae). *Denisia,* **13**: 359-368.
VANUYTVEN, H. 2014. *Theridion asopi* n. sp., a new member of the *Theridion melanurum* group (Araneae: Theridiidae) in Europe. *Arachnology,* **16**(4): 127-134.
WORLD SPIDER CATALOG 2017. World Spider Catalog. Natural History Museum Bern, online at http://wsc.nmbe.ch , version 18, accessed on 15.06.2017.
WUNDERLICH, J. 2011. Extant and fossil spiders (Araneae). *Beiträge zur Araneologie,* 6: 1-640.
WUNDERLICH, J. 2017. Descriptions, notes and synonyms of some mainly Mediterranean and Macaronesian spiders (Araneae) of various families. *Beiträge zur Araneologie,* **10**: 298-326, 354.

(*)Références disponibles dans www.sea-entomologia.org

Annexe
Liste des espèces.

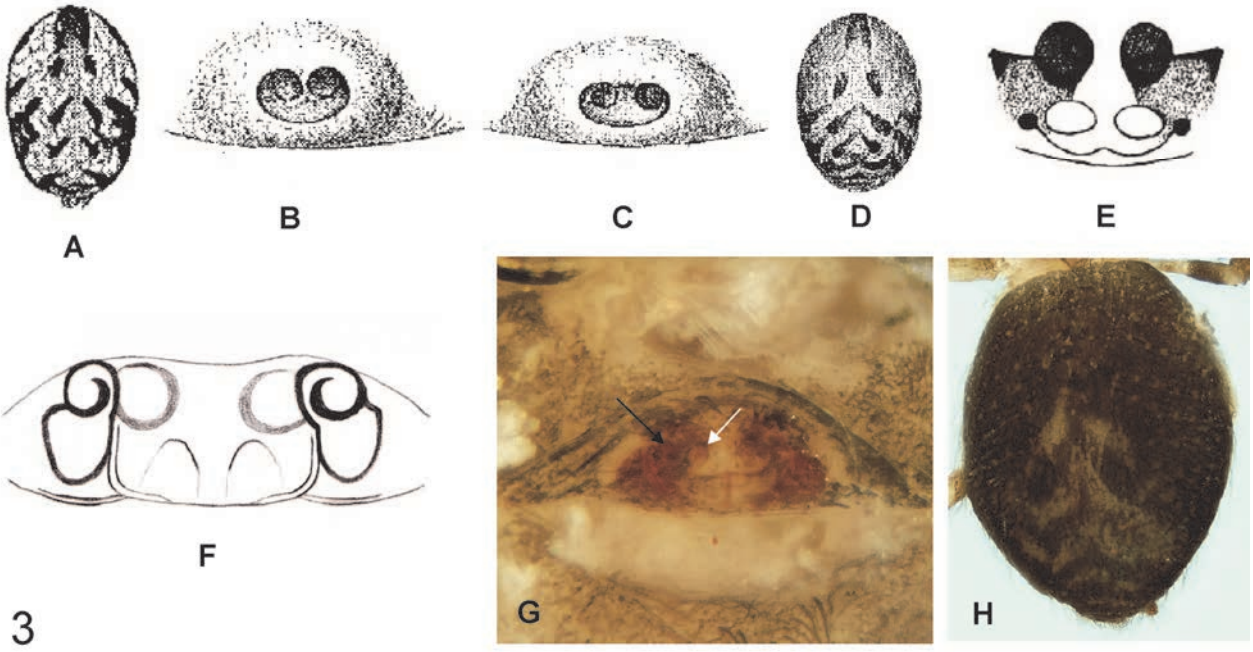
Les espèces sont traitées par ordre alphabétique de la famille puis du genre. Ont également été précisés la commune (le cas échéant les coordonnées géographiques – Lambert 93), nombre, sexe, degré de maturité, habitat et date d'observation des individus collectés.
Les espèces marquées (⊙ / ● / ○) sont respectivement celles nouvelles pour la faune de la Péninsule Ibérique, du Portugal et/ou pour le district de Faro (Morano *et al.*, 2014; Cardoso, 2011; World Spider Catalog, 2017; Nentwig *et al.*, 2017). Les espèces endémiques sont repérées (■) (Cardoso & Morano, 2010).

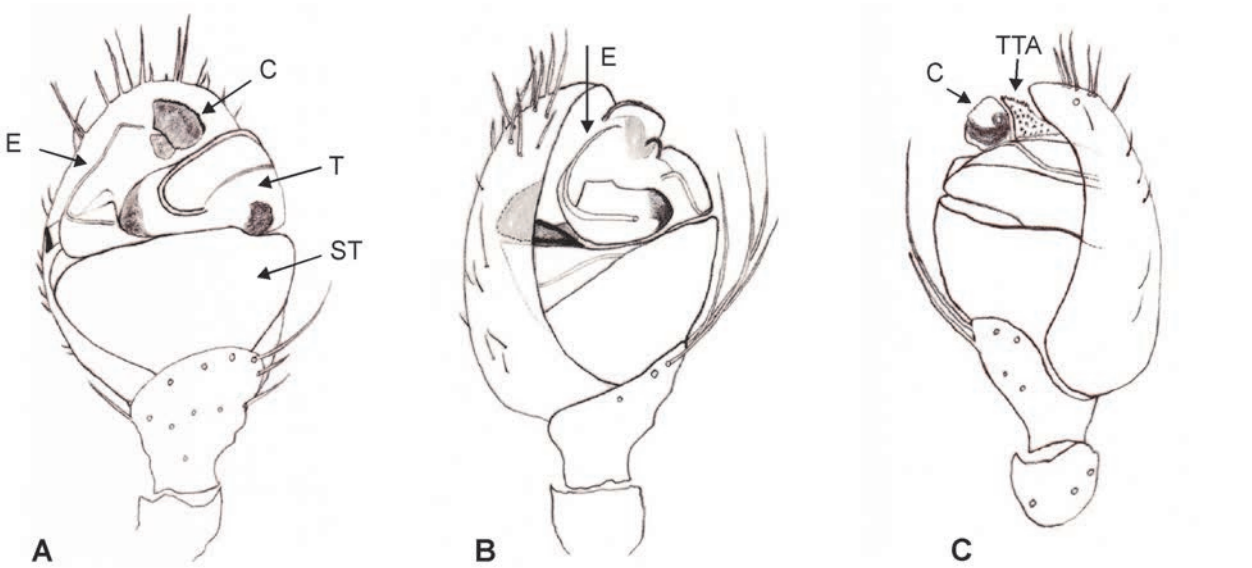
Famille: Espèce	●	Lieu - Nombre Sexe, Habitat, Date
Agelenidae		
Eratigena atrica (C. L. Koch, 1843)		Quarteira, Praia do Almargem – 1M sub., 1F (Fig. 9), au bord d'un plan d'eau sous des oyats couchés, 16-IV-2017.
Eratigena feminea (Simon, 1870)	■	Olhos de Água – 1F, prairie, sous une pierre, 11-IV-2017. Olhos de Água – 1F (Fig. 9, 17), prairie, sous une pierre, 12-IV-2017. Olhos de Água – 1F, complexe hôtellier, sous une pierre en bordure d'un chemin, 13-IV-2017.
Lycosoides coarctata (Dufour, 1831)		Olhos de Água – 2F (Fig. 12), complexe hôtellier, sous une pierre en bordure d'un chemin, 12-IV-2017. Olhos de Água – 1F, complexe hôtellier, sous une pierre en bordure d'un chemin, 13-IV-2017.
Anyphaenidae		
Anyphaena sabina L. Koch, 1866		Olhos de Água – 1F, battage d'arbustes, 17-IV-2017.

Famille: Espèce	●	Lieu - Nombre Sexe, Habitat, Date
Araneidae		
Mangora acalypha (Walckenaer, 1802)		Olhos de Água – 1F, battage de résineux, en bord de prairie, 12-IV-2017. Entre Telheiro et Espinhaço de Cão – 1M, battage végétation en bord de chemin, 14-IV-2017.
Dictynidae		
Lathys cf. *affinis* (Blackwall, 1862)	?	Olhos de Água (-299536,52; 5621159,02) – 1F (Fig. 3, 11), battage d'arbustes, 17-IV-2017.
Nigma puella (Simon, 1870)	○	Olhos de Água – 1F, zone littorale, végétation rase en pied de falaise, 11-IV-2017.
Dysderidae		
Dysdera crocata C. L. Koch, 1838		Quarteira, Praia do Almargem – 1F, sous un chêne, au sol dans une loge enterrée, 17-IV-2017.
Dysdera erythrina (Walckenaer, 1802)		Olhos de Água – 1F, prairie, sous une pierre, 17-IV-2017.
Eutichuridae		
Cheiracanthium striolatum Simon, 1878		Olhos de Água – 1F, complexe hôtellier, sur un muret, 17-IV-2017.
Filistatidae		
Filistata insidiatrix (Forsskål, 1775)		Olhos de Água – 1F imm., zone littorale, végétation rase en pied de falaise, 11-IV-2017. Olhos de Água – 1 juv., végétation en bord de prairie, 12-IV-2017. Olhos de Água – 1F imm., sous une pierre dans un habitation en ruine, 17-IV-2017.
Gnaphosidae		
Drassodes lapidosus (Walckenaer, 1802)	○	Olhos de Água – 1M, dans des gravats au milieu d'une pelouse en friche, 15-IV-2017. Olhos de Água – 1 M, dans une prairie, au sol sous un vieux tapis, 17-IV-2017.
Nomisia exornata (C. L. Koch, 1839)	○	Olhos de Água – 1M, complexe hôtellier, sous une pierre en bordure d'un chemin, 14-IV-2017.
Poecilochroa albomaculata (Lucas, 1846)	○	Entre Telheiro et Espinhaço de Cão – 1M sub., chemin pierreux, sous une pierre, 14-IV-2017.
Scotophaeus nanoides Wunderlich, 2011		Olhos de Água (-300021,63; 5621289,73) – 1M sub. (amené à maturité en captivité) (Fig. 14, 17), complexe hôtellier, sous l'écorce d'un pin, 18-IV-2017.
Trachyzelotes holosericeus (Simon, 1878)		Olhos de Água – 1M sub. (amené à maturité en captivité), pelouse en bord de route, sous une pierre, 11-IV-2017. Olhos de Água – 1M (Fig. 16), complexe hôtellier, au sol sur un chemin de terre, 17-IV-2017. Olhos de Água – 1F sub. (amenée à maturité en captivité) (Fig. 15, 16), dans une prairie, au sol sous un vieux tapis, 17-IV-2017. Olhos de Água – 1M, prairie sèche, sous une pierre, 17-IV-2017.
Zelotes criniger Denis, 1937	○	Olhos de Água (-299546,23; 5621159,02) – 1M (Fig. 16), sous un chêne, au sol, 17-IV-2017. Vilamoura (-297565,02; 5619743,42) – 1M, en bord de plage, dans des reliquats d'oyats, 15-IV-2017.
Zelotes lagrecai Di Franco, 1994	○	Olhos de Água (-300064,02; 5621169,48) – 1F (Fig. 16), complexe hôtellier, sous une pierre en bordure d'un chemin, 13-IV-2017.
Linyphiidae		
Agyneta pseudorurestris Wunderlich, 1980		Olhos de Água – 1M, 5F, zone littorale, végétation rase en pied de falaise, 11-IV-2017. Olhos de Água – 1M, dans des gravats au milieu d'une pelouse en friche, 15-IV-2017. Olhos de Água – 1M, au battage d'arbustes, 17-IV-2017. Olhos de Água – 2F, sous un chêne, au sol, 17-IV-2017.
Erigone dentipalpis (Wider, 1834)		Albufeira – 1M, en centre ville en phase de balooning, 13-IV-2017. Olhos de Água – 1M, complexe hôtellier en phase de balooning, 16-IV-2017. Vilamoura – 1F (Fig. 90), sur la façade d'un magasin, 15-IV-2017.
Frontinellina frutetorum (C. L. Koch, 1834)		Olhos de Água – 1F, végétation en bord de prairie, 12-IV-2017.
Microctenonyx subitaneus (O. P.-Cambridge, 1875)		Olhos de Água – 1F, zone littorale, végétation rase en pied de falaise, 11-IV-2017. Olhos de Água – 1F, complexe hôtellier, sous une pierre en bordure d'un chemin, 13-IV-2017.
Pelecopsis bucephala (O. P.-Cambridge, 1875)		Olhos de Água– 1F (Fig. 13), battage de genêts, en bord de prairie, 12-IV-2017. Olhos de Água – 1F, sous une pierre dans un habitation en ruine au milieu d'une prairie, 17-IV-2017. Quarteira, Praia do Almargem – 1F, au bord d'un plan d'eau sous des oyats couchés, 16-IV-2017.
Prinerigone vagans (Audouin, 1826)		Olhos de Água – 1M, battage de résineux, en bord de prairie, 12-IV-2017. Olhos de Água – 1M, sur la piste d'un stade d'athlétisme, 15-IV-2017. Rasmalhos – 1M, bord de rivière, sur sol nu, 14-IV-2017.
Tenuiphantes tenuis (Blackwall, 1852)		Olhos de Água – 1M, zone littorale, végétation éparse (oyats) en pied de falaise, 16-IV-2017. Olhos de Água – 1F, battage d'arbustes, 17-IV-2017. Olhos de Água – 1F, prairie, sous une planche de bois, 17-IV-2017. Rasmalhos – 1F, bord de rivière, sous des carex en décomposition, 14-IV-2017.
Trichopterna cucurbitina (Simon, 1881)	○	Quarteira, Praia do Almargem – 1F (Fig. 16), au bord d'un plan d'eau sous des oyats couchés, 16-IV-2017.
Liocranidae		
Mesiotelus mauritanicus Simon, 1909		Olhos de Água – 1M, 1F (Fig. 12), complexe hôtellier, sous une pierre en bordure d'un chemin, 13-IV-2017. Olhos de Água – 1F (Fig. 17), dans un bosquet, au pied d'un chêne-liège, 17-IV-2017.
Lycosidae		
Alopecosa albofasciata (Brullé, 1832)		Olhos de Água – 1M, pelouse en bord de route, 11-IV-2017. Olhos de Água – 1F, dans un bosquet, au sol, 17-IV-2017.
Arctosa fulvolineata (Lucas, 1846)		Quarteira, Praia do Almargem (-294375,26; 5617748,05) – 1M, 1F (Fig. 8), au bord d'un plan d'eau sous des oyats couchés, 16-IV-2017.
Arctosa lacustris (Simon, 1876)	○	Rasmalhos – 1F, bord de rivière, sous des carex en décomposition, 14-IV-2017.
Arctosa personata (L. Koch, 1872)	○	Entre Telheiro et Espinhaço de Cão – 1F, chemin pierreux, sous une pierre, 14-IV-2017.
Hogna radiata (Latreille, 1817)		Olhos de Água – 1M imm. (amené à maturité en captivité), dans une prairie, au sol sous un vieux tapis, 17-IV-2017.
Pardosa proxima (C. L. Koch, 1847)		Olhos de Água – 1F, complexe hôtellier, sur un chemin de terre, 16-IV-2017.
Trabea paradoxa Simon, 1876	○	Quarteira, Praia do Almargem (-294375,26; 5617748,05) – 1M (Fig. 15), au bord d'un plan d'eau sous des oyats couchés, 16-IV-2017.

Famille: Espèce	●	Lieu - Nombre Sexe, Habitat, Date
Mimetidae		
Ero flammeola Simon, 1881	○	Olhos de Água (-300064; 5621169) – 1F (Fig. 10), complexe hôtellier, sous une pierre en bordure d'un chemin, 12-IV-2017.
Oecobiidae		
Oecobius navus Blackwall, 1859		Olhos de Água – 1F, 1F imm., complexe hôtellier, sur le mur extérieur d'une terrasse, 11-IV-2017.
Oxyopidae		
Oxyopes nigripalpis Kulczyński, 1891	○	Olhos de Água – 1F sub. (amenée à maturité en captivité), prairie, dans les herbes, 17-IV-2017.
Palpimanidae		
Palpimanus gibbulus Dufour, 1820		Olhos de Água – 1F imm., dans des gravats au milieu d'une pelouse en friche, 15-IV-2017.
Philodromidae		
Philodromus aureolus (Clerck, 1758)		Olhos de Água – 1M, complexe hôtellier, au sol sur un chemin de terre, 17-IV-2017.
Philodromus buxi Simon, 1884	○	Entre Moinho da Rocha et Casas Velhas – 1F (Fig. 13), battage de branchages morts après un feu de végétation, 14-IV-2017. Olhos de Água – 1M (Fig. 13), complexe hôtellier, sur un muret, 15-IV-2017.
Philodromus rufus Walckenaer, 1826	○	Olhos de Água – 1F, battage d'arbustes, 17-IV-2017.
Pulchellodromus bistigma (Simon, 1870)	○	Olhos de Água – 1M (Fig. 13), battage d'arbustes, 17-IV-2017.
Pulchellodromus glaucinus (Simon, 1870)		Quarteira, Praia do Almargem – 1M (Fig. 13), au bord d'un plan d'eau sous des oyats couchés, 16-IV-2017.
Pulchellodromus pulchellus (Lucas, 1846)	○	Olhos de Água – 1F, pelouse en bord de route, 11-IV-2017. Olhos de Água – 2M, zone littorale, végétation éparse (oyats) en pied de falaise, 16-IV-2017. Olhos de Água – 1M, complexe hôtellier, sur un muret, 16-IV-2017.
Pulchellodromus simoni (Mello-Leitão, 1929)	●	Olhos de Água (-299961,76; 5621533,16) – 2M, 2F imm., battage de résineux et au sol d'une pelouse sèche et éparse, 12-IV-2017. Olhos de Água (-299536,52; 5621221,96) – 1M (Fig. 13), battage d'arbustes, 17-IV-2017.
Thanatus fabricii (Audouin, 1826)	○	Olhos de Água – 1F, pelouse en bord de route, 11-IV-2017. Olhos de Água – 1M, 1F (Fig. 14), pelouse en bord de route, 12-IV-2017.
Thanatus formicinus (Clerck, 1758)		Olhos de Água – 1F (Fig. 15), zone littorale, pelouse rase en haut de falaise, 11-IV-2017.
Tibellus oblongus (Walckenaer, 1802)		Olhos de Água – 2F, zone littorale, végétation éparse (oyats) en pied de falaise, 16-IV-2017. Quarteira, Praia do Almargem – 1M, 1F, au bord d'un plan d'eau sous des oyats couchés, 16-IV-2017.
Pholcidae		
Holocnemus hispanicus Wiehle, 1933	■	Olhos de Água – 1F imm., complexe hôtellier, au sol sous une pierre en bordure d'un chemin, 12-IV-2017. Olhos de Água – 1F (Fig. 11), complexe hôtellier, en bordure d'un chemin, 13-IV-2017. Olhos de Água – 1M (Fig.11), dans des gravats au milieu d'une pelouse en friche, 15-IV-2017.
Holocnemus pluchei (Scopoli, 1763)	○	Albufeira – 1M, en centre ville, dans le coin du mur extérieur d'une habitation, 15-IV-2017.
Salticidae		
Aelurillus luctuosus (Lucas, 1846)		Olhos de Água – 2M, 1M sub., 1F (Fig. 8), prairie sèche sur une zone quasi sans végétation, 12-IV-2017.
Ballus chalybeius (Walckenaer, 1802)		Olhos de Água – 1M, battage d'arbustes, 17-IV-2017.
Bianor albobimaculatus (Lucas, 1846)		Rasmalhos – 1F (Fig. 9), bord de rivière, sous des carex en décomposition, 14-IV-2017.
Chalcoscirtus infimus (Simon, 1868)		Ferragudo, Praia dos Caneiros – 1F, zone littorale, végétation éparse en pied de falaise, 14-IV-2017. Olhos de Água – 2M, 1M sub., zone littorale, végétation rase en pied de falaise, 11-IV-2017.
Cyrba algerina (Lucas, 1846)		Olhos de Água – 1M, au sol, sous un débris de cactus dans un petit fossé en lisière de bosquet, 12-IV-2017. Olhos de Água – 1M sub., complexe hôtellier, sous une pierre en bordure d'un chemin, 13-IV-2017.
Euophrys herbigrada (Simon, 1871)		Olhos de Água – 1M, complexe hôtellier, au sol sur un chemin, 14-IV-2017. Quarteira, Praia do Almargem – 3M, 1F, 1F imm., au bord d'un plan d'eau sous des oyats couchés, 16-IV-2017.
Euophrys semiglabrata (Simon, 1868)		Rasmalhos – 1M (Fig. 10), bord de rivière, sous des carex en décomposition, 14-IV-2017.
Heliophanus agricola Wesolowska, 1986	○	Ferragudo, Praia dos Caneiros (-331975,32; 5628365,77) – 2M (Fig. 10), zone littorale, végétation éparse en pied de falaise, 14-IV-2017.
Heliophanus kochii Simon, 1868		Albufeira – 1M, en centre ville, sur un muret, 13-IV-2017.
Heliophanus lineiventris Simon, 1868		Olhos de Água – 1F, prairie en bord de route, sous une pierre, 12-IV-2017. Olhos de Água – 1F, complexe hôtellier, sous une pierre en bordure d'un chemin, 14-IV-2017.
Menemerus semilimbatus (Hahn, 1829)		Ferragudo, Praia dos Caneiros – 1M, zone littorale, végétation éparse en pied de falaise, 14-IV-2017. Olhos de Água – 1M, 1F, zone littorale, végétation rase en pied de falaise, 11-IV-2017.
Pellenes brevis (Simon, 1868)	●	Olhos de Água (-299075,02; 5622825,03) – 1M (Fig. 13), prairie sèche, 17-IV-2017.
Phlegra bresnieri (Lucas, 1846)		Olhos de Água – 1M, complexe hôtellier, au sol sur un chemin, 15-IV-2017.
Pseudeuophrys erratica (Walckenaer, 1826)	○	Olhos de Água – 1M, complexe hôtellier, sur un muret, 17-IV-2017.
Salticus mutabilis Lucas, 1846		Albufeira – 1M, en centre ville, sur un muret, 13-IV-2017. Olhos de Água – 1F, complexe hôtellier, sur un muret, 12-IV-2017. Olhos de Água – 2M, complexe hôtellier, sur un muret, 15-IV-2017. Olhos de Água – 1M, battage d'arbustes, 17-IV-2017.
Salticus propinquus Lucas, 1846	○	Albufeira – 1M, en centre ville, sur un muret, 13-IV-2017. Olhos de Água – 1F, zone littorale, végétation rase en pied de falaise, 11-IV-2017.
Synageles venator (Lucas, 1836)	○	Rasmalhos – 1F, bord de rivière, sous des carex en décomposition, 14-IV-2017.
Scytodidae		
Scytodes velutina Heineken & Lowe, 1832	○	Olhos de Água – 1F, sous une écorce au pied d'un arbre, 12-IV-2017.

Famille: Espèce	●	Lieu - Nombre Sexe, Habitat, Date
Sicariidae		
Loxosceles rufescens (Dufour, 1820)		Olhos de Água – 1M, complexe hôtellier, errant, sur un sol pierreux, 12-IV-2017. Olhos de Água – 1F imm., prairie en bord de route, sous une pierre, 12-IV-2017. Olhos de Água – 1M, complexe hôtellier, sous une pierre – 1F imm., complexe hôtellier, sous une pierre en bordure d'un chemin, 14-IV-2017.
Sparassidae		
Eusparassus dufouri Simon, 1932	○	Olhos de Água – 1M sub. (amené à maturité en captivité) (Fig. 10), prairie en bord de route, sous un morceau de bois, 12-IV-2017.
Tetragnathidae		
Tetragnatha extensa (Linnaeus, 1758)		Olhos de Água – 1F, zone littorale, végétation éparse (oyats) en pied de falaise, 16-IV-2017.
Theridiidae		
Anatolidion gentile (Simon, 1881)	⊙	Olhos de Água (-299536,52; 5621221,96) – 1F (Fig. 8), prairie sèche, au sol, 17-IV-2017.
Argyrodes argyrodes (Walckenaer, 1841)	○	Olhos de Água – 1M, 2F, dans un bosquet, au pied d'un chêne-liège, 17-IV-2017.
Enoplognatha diversa (Blackwall, 1859)		Olhos de Água – 1M (Fig. 9), complexe hôtellier, sur le mur extérieur d'une terrasse, 11-IV-2017. Olhos de Água – 1F, zone littorale, végétation éparse (oyats) en pied de falaise, 16-IV-2017.
Enoplognatha mandibularis (Lucas, 1846)		Olhos de Água – 1F (Fig. 9), zone littorale, végétation rase en pied de falaise, 11-IV-2017.
Enoplognatha quadripunctata Simon, 1884		Olhos de Água – 1F (Fig. 9), au sol, sous un débris de cactus dans un petit fossé en lisière de bosquet, 12-IV-2017. Olhos de Água – 1F, complexe hôtellier, sous une pierre en bordure d'un chemin, 13-IV-2017. Olhos de Água – 1F, dans un bosquet, sous un morceau de carrelage au milieu de feuilles mortes, 17-IV-2017.
Euryopis episinoides (Walckenaer, 1847)		Olhos de Água – 2F, 1F imm., dans des gravats au milieu d'une pelouse en friche, 15-IV-2017.
Kochiura aulica (C. L. Koch, 1838)		Ferragudo, Praia dos Caneiros – 1M, 1F, zone littorale, végétation éparse en pied de falaise, 14-IV-2017. Olhos de Água – 1F, zone littorale, végétation rase en pied de falaise, 11-IV-2017. Olhos de Água – 1M, 1F, complexe hôtellier, dans une inflorescence, 14-IV-2017.
Lasaeola testaceomarginata Simon, 1881	○	Entre Moinho da Rocha et Casas Velhas (-335550,18; 5643836) – 1M, 1F imm., battage de branchages morts (résultant d'un feu de végétation), 14-IV-2017. Olhos de Água (-299961,76; 5621533,16) – 2F (Fig. 11), battage de genêts, en bord de prairie, 12-IV-2017.
Neottiura curvimana (Simon, 1914)		Olhos de Água – 1M (Fig. 12), dans les toilettes d'un stade d'athlétisme, 15-IV-2017.
Platnickina tincta (Walckenaer, 1802)	○	Olhos de Água – 1F imm., battage de résineux, en bord de prairie, 12-IV-2017. Olhos de Água – 1M, dans un bosquet, battage de branches mortes, 17-IV-2017.
Ruborridion musivum (Simon, 1873)		Entre Telheiro et Espinhaço de Cão – 1M, battage de résineux en bord de chemin, 14-IV-2017. Olhos de Água – 2M, 2F (Fig. 14), au sol, dans des herbes rases d'une prairie, 12-IV-2017.
Simitidion simile (C. L. Koch, 1836)	○	Olhos de Água – 1M, 2F, battage de genêts, en bord de prairiee, 12-IV-2017. Olhos de Água – 1M (Fig. 14), complexe hôtellier, sous une pierre, capturé par *Holocnemus hispanicus*, 13-IV-2017. Olhos de Água – 2F, battage d'arbustes, 17-IV-2017.
Steatoda grossa (C. L. Koch, 1838)		Olhos de Água – 1F sub., sous une pierre dans une habitation en ruine au milieu d'une prairie arbustive, 17-IV-2017.
Steatoda nobilis (Thorell, 1875)	○	Albufeira – 1F imm., en centre ville, sur un pylone, 13-IV-2017. Olhos de Água – 1F, prairie dans un parpaing, 17-IV-2017.
Theridion bernardi n. sp.	⊙	Olhos de Água (-300021,63; 5621289,73) – 1F (Fig. 4, 5, 6), complexe hôtellier, sur un muret d'un logement, 16-IV-2017. Olhos de Água (-299536,52; 5621221,96) – 1M (Fig. 6, 4), battage d'arbustes entre bosquet et prairie, 17-IV-2017.
Theridion harmsi Wunderlich, 2011		Albufeira – 1M (Fig. 15), en centre ville, dans des adventices dans le recoin de marches et d'un muret, 13-IV-2017. Entre Moinho da Rocha et Casas Velhas (-335550,18; 5643836) – 1M, 1F sub., 1F imm., battage de branchages morts (résultant d'un feu de végétation), 14-IV-2017.
Thomisidae		
Monoaeses paradoxus (Lucas, 1846)		Olhos de Água – 1F (Fig. 12), zone littorale, végétation éparse (oyats) en pied de falaise, 16-IV-2017.
Ozyptila perplexa Simon, 1875	●	Rasmalhos (-332594,65; 5643368,42) – 1M (Fig. 12, 17), bord de rivière, sous des carex en décomposition, 14-IV-2017.
Synema globosum (Fabricius, 1775)		Entre Moinho da Rocha et Casas Velhas – 1M, battage de branchages morts (résultant d'un feu de végétation), 14-IV-2017. Entre Telheiro et Espinhaço de Cão – 1F, battage végétation en bord de chemin, 14-IV-2017. Olhos de Água – 1M sub., battage d'arbustes, 17-IV-2017.
Xysticus nubilus Simon, 1875	○	Olhos de Água – 1F, 5mm (Fig. 16, 17), dans une prairie, battage de jeunes pins, 17-IV-2017.
Titanoecidae		
Titanoeca praefica (Simon, 1870)	○	Olhos de Água (-299991,32; 5620970,16) – 1F (Fig. 15), zone littorale, végétation rase en pied de falaise, 11-IV-2017.
Zodariidae		
Selamia reticulata (Simon, 1870)		Olhos de Água – 1M, complexe hôtellier, sous une pierre en bordure d'un chemin, 13-IV-2017.
Zodarion styliferum (Simon, 1870)		Olhos de Água – 1F, prairie en bord de route, sous une pierre abritant un nid de fourmis, 11-IV-2017.





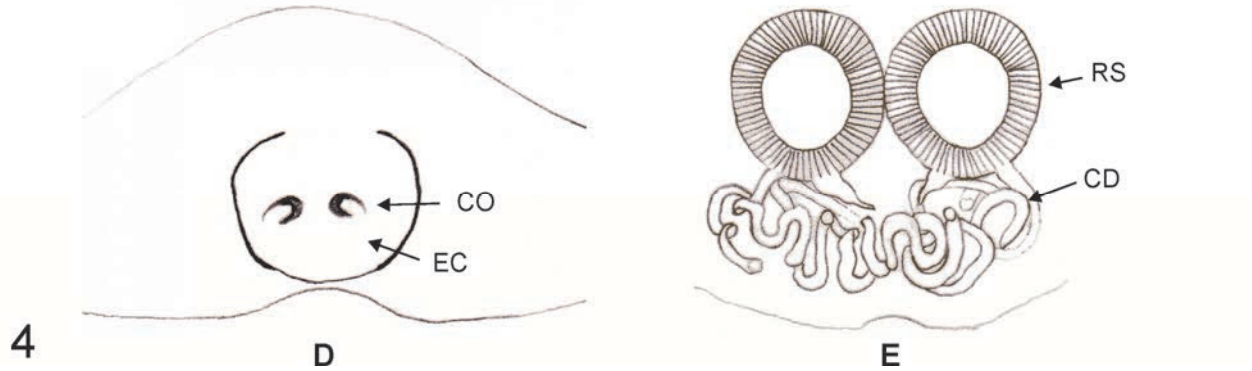


Fig. 3. A-C. *Lathys affinis*, femelle, d'après Kulczyński (1899, fig. 3, 4 et 5). **A**. Habitus. **B** & **C**. Epigyne. **D**. *Lathys decolor*, femelle, habitus, d'après Kulczyński (1899, fig. 11). **E**. *Lathys atltantica*, femelle, épigyne d'après Denis (1962, fig. 79). **F-H**. *Lathys* cf. *affinis*, femelle, exemplaire de l'Algarve (dessin et coll. S. Lecigne). **F**. Vulve, vue ventrale. G. Epigyne. **H**. Habitus. (Photos P. Oger).

Fig. 4. A-E. *Theridion bernardi* n. sp. **A-C**. Male, pedipalp, ventral, pro- and retrolateral views. **D**. Epigyne. **E**. Vulva, dorsal view. All drawings were made by the author.

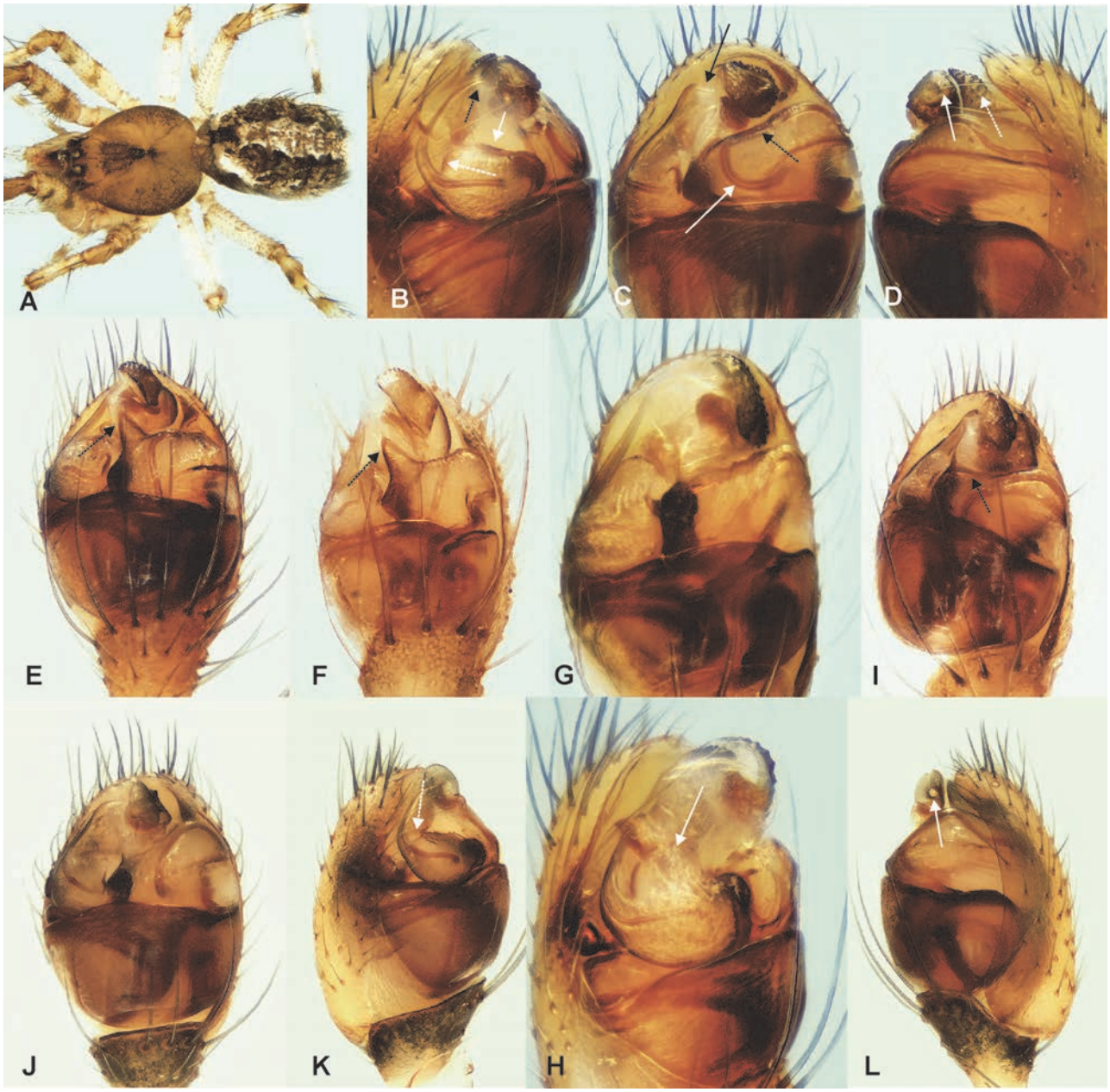


Fig. 5. A-D. *Theridion bernardi* n. sp., male. **A**. Habitus. **B-D**. Bulb, pro-, ventral and retrolateral views. **E**. *Theridion asopi*, bulb, ventral view. **F**. *Theridion betteni*, bulb, ventral view. **G-H**. *Theridion harmsi*, bulb. **G**. Ventral view. **H**. Prolateral view. **I**.*Theridion melanurum*, bulb, ventral view. **J-L**. *Theridion mystaceum*, bulb. **J**. Ventral view. **K**. Prolateral view. **L**. Retrolateral view. (Photos P. Oger).

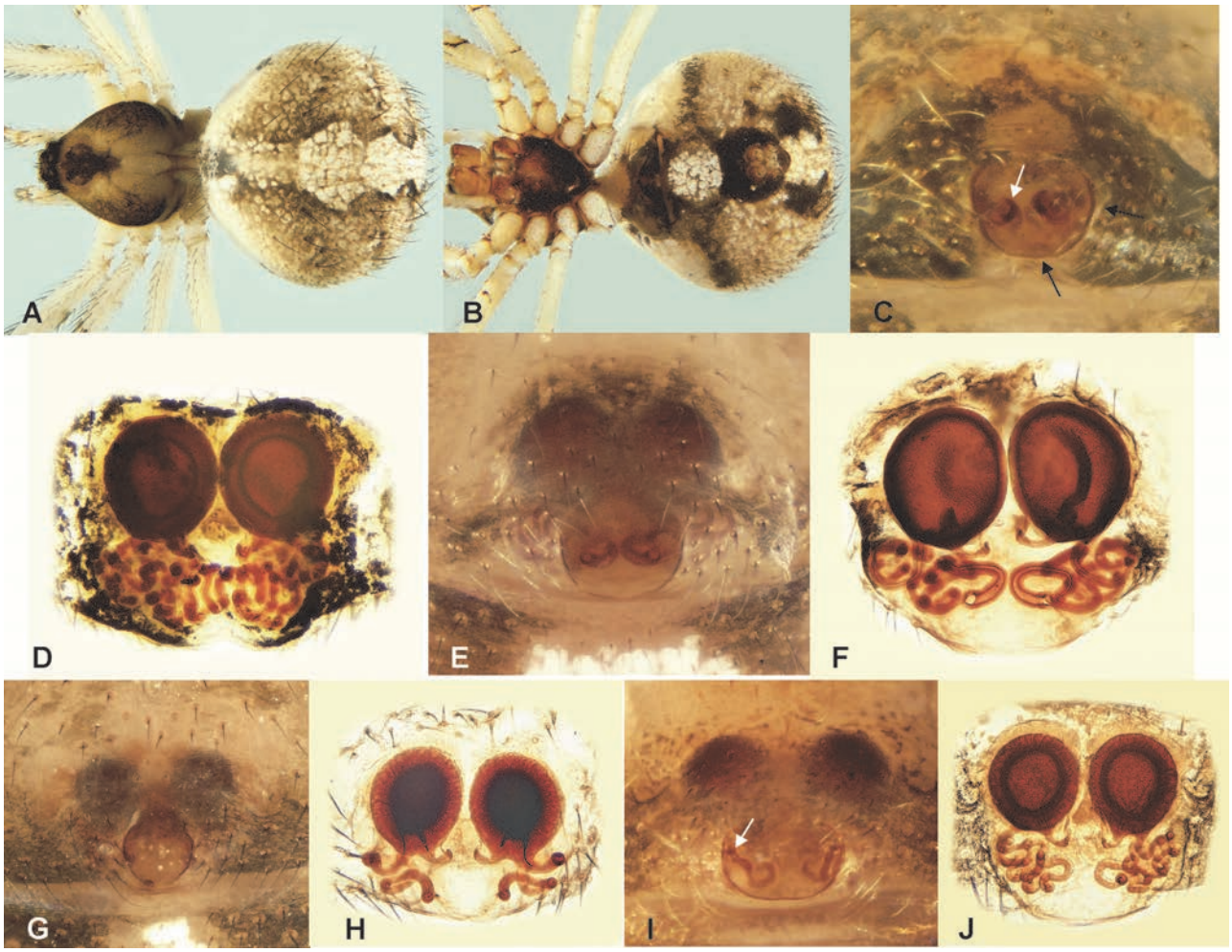


Fig. 6. A-D. *Theridion bernardi* n. sp., female. **A**. Habitus. **B**. Ventral view. **C**. Epigyne. **D**. Vulva, dorsal view. **E-F**. *Theridion asopi*, female. **E**. Epigyne. **F**. Vulva, dorsal view. **G-H**. *Theridion melanurum*, female. **G**. Epigyne. **H**. Vulva, dorsal view. **I-J**. *Theridion mystaceum*, female. **I**. Epigyne. **J**. Vulva, dorsal view. (Photos P. Oger).

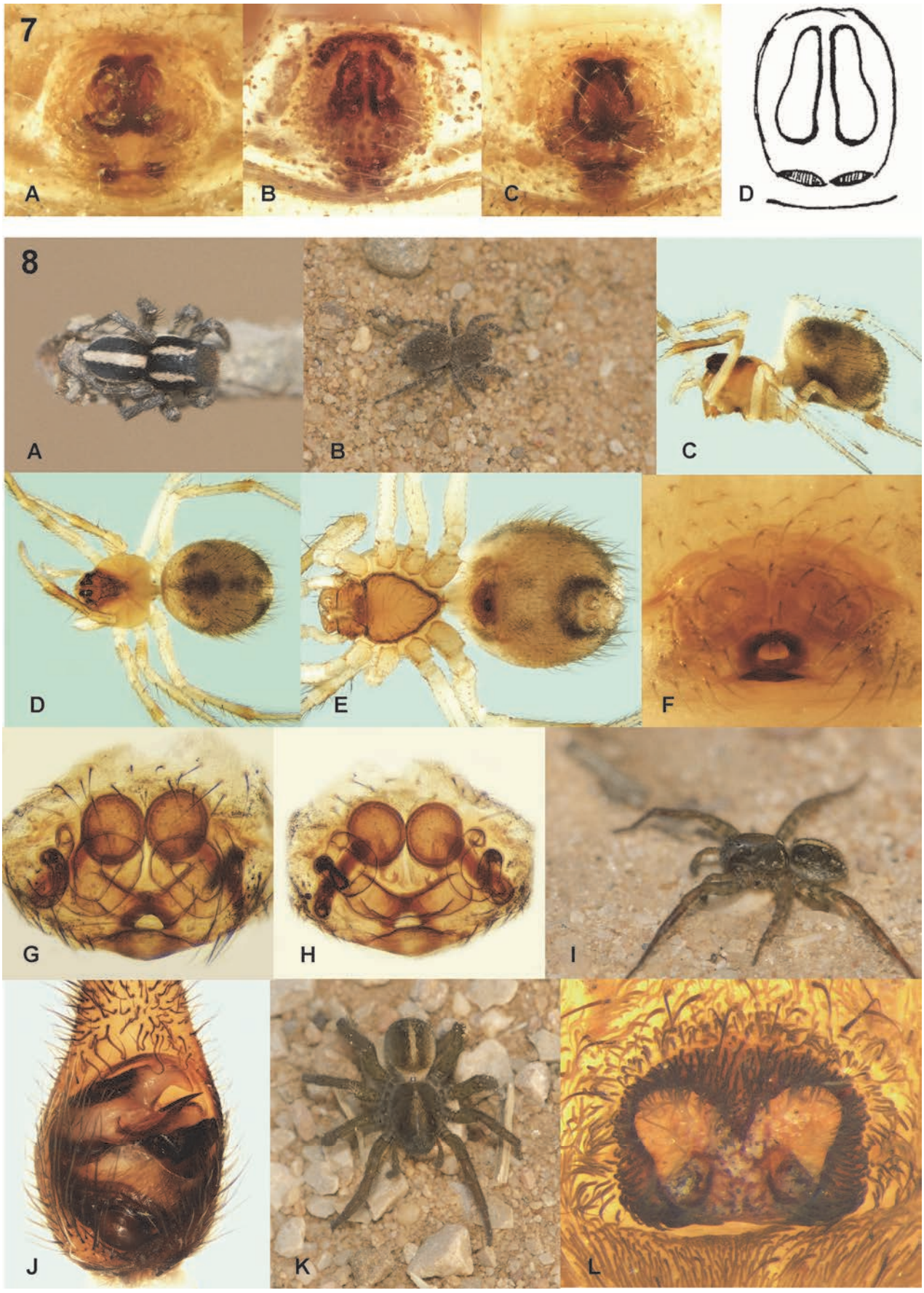


Fig. 7. *Xysticus nubilus*, femelle, épigyne. **A**. Exemplaire d'Algérie. **B**. Exemplaire de Corse. **C**. Exemplaire du Portugal (Olhos de Água) (Photos P. Oger). **D**. Dessin, Simon (1932).

Fig. 8. A-B. *Aelurillus luctuosus*, habitus (S. Lecigne). **A**. Mâle. **B**. Femelle. **C-H**. *Anatolidion gentile*, femelle. **C**. Vue de profil. **D**. Habitus. **E.** Vue ventrale. **F**. Epigyne. **G**. Vulve, vue ventrale. **H**. Vulve, vue dorsale. **I-L**. *Arctosa fulvolineata*. **I**. Mâle, vue latérale (S. Lecigne). **J**. Mâle, bulbe, vue ventrale (exemplaire de France). **K**. Femelle, habitus (S. Lecigne). **L**. Epigyne (exemplaire de France). L'ensemble des clichés présentés a été réalisé par Pierre Oger, sauf indications contraires.

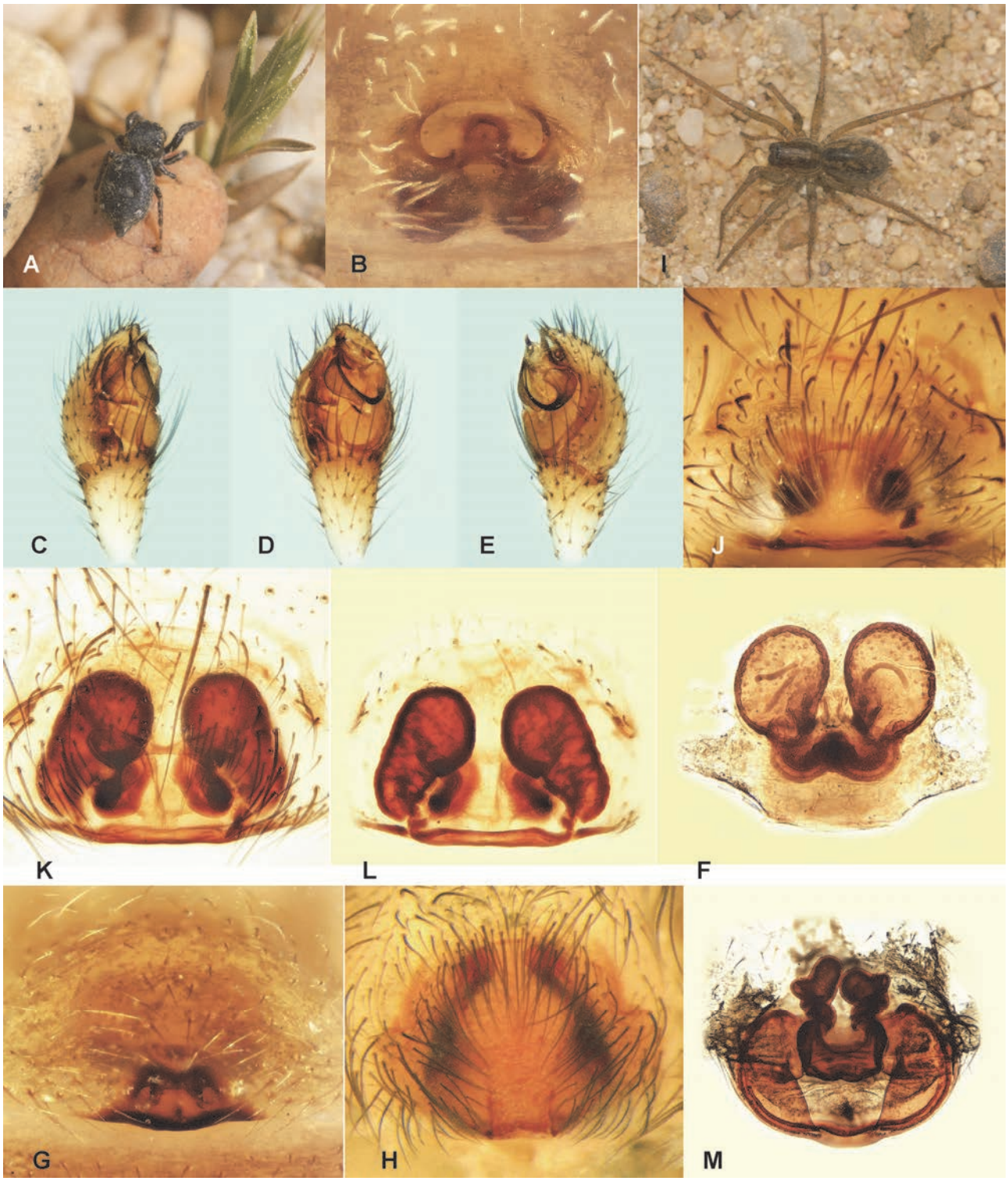


Fig. 9. A-B. *Bianor albobimaculatus*, femelle. **A**. Habitus (S. Lecigne). **B**. Epigyne (exemplaire de Corse). **C-E**. *Enoplognatha diversa*, pédipalpe mâle. **C**. Vue prolatérale. **D**. Vue ventrale. **E**. Vue rétrolatérale. **F**. *Enoplognatha mandibularis*, vulve, vue dorsale (exemplaire de France). **G**. *Enoplognatha quadripunctata*, épigyne (exemplaire de Crête). **H**. *Eratigena atrica*, épigyne (exemplaire de Belgique). **I-L**. *Eratigena feminea*, femelle (S. Lecigne). **I**. Habitus. **J**. Epigyne. **K**. Vulve, vue ventrale. **L**. Vulve, vue dorsale. **M**. *Erigone dentipalpis*, vulve, vue dorsale (exemplaire de France). L'ensemble des clichés présentés a été réalisé par Pierre Oger, sauf indications contraires.

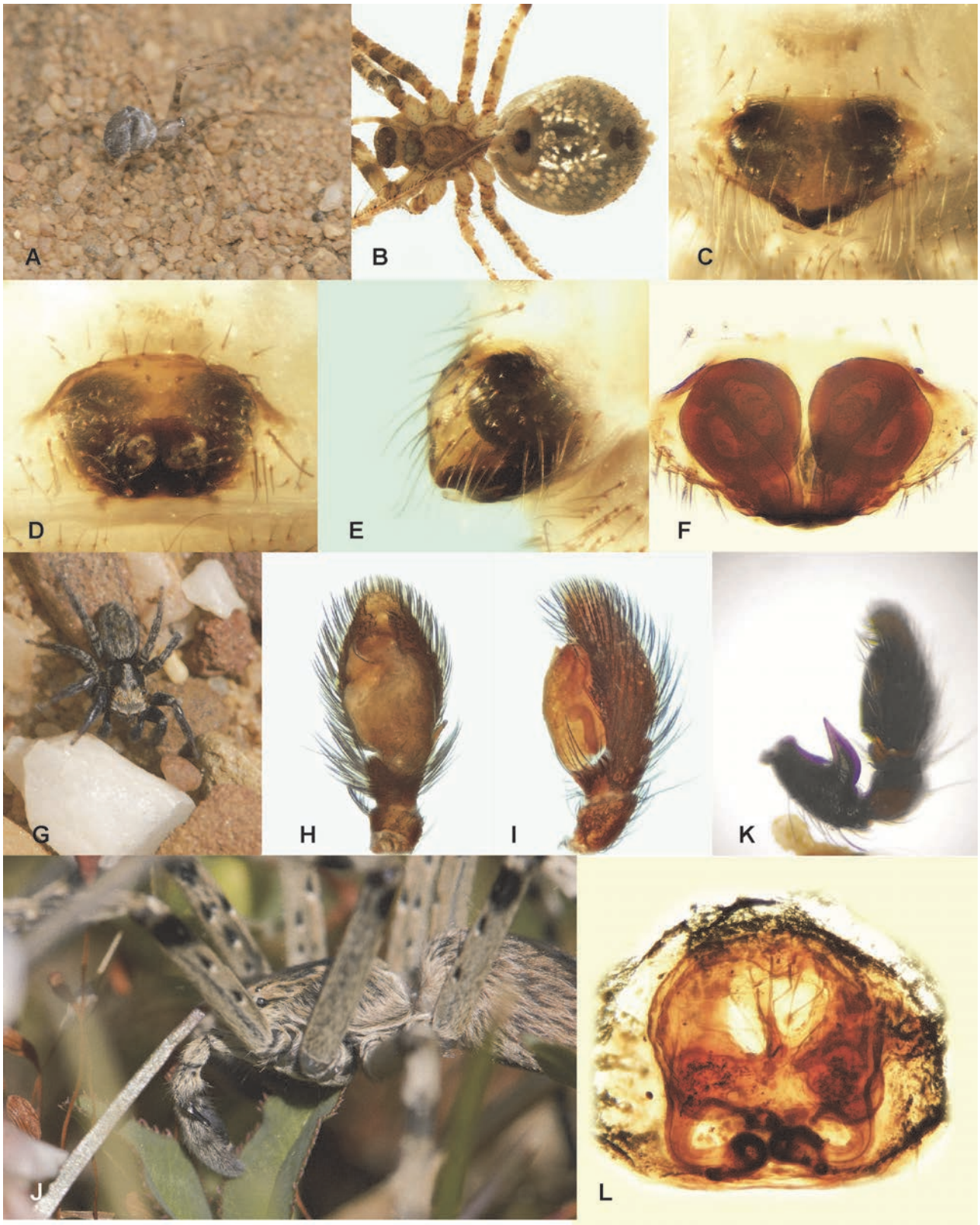


Fig. 10. A-F. *Ero flammeola*, femelle. **A**. Habitus (S. Lecigne). **B**. Face ventrale. **C**. Epigyne. **D**. Epigyne, vue postérieure. **E**. Epigyne, vue latérale. **F**. Vulve, vue dorsale. **G-I**. *Euophrys semiglabrata*, mâle. **G**. Habitus (S. Lecigne). **H**. Pédipalpe, vue ventrale. **I**. Pédipalpe, vue rétrolatérale. **J**. *Eusparassus dufouri*, mâle, vue de profil et pédipalpe, vue rétrolatérale (S. Lecigne). **K**. *Heliophanus agricola*, mâle, pédipalpe, vue rétrolatérale et apophyse tibiale (S. Lecigne). **L**. *Heliophanus lineiventris*, vulve, vue dorsale. L'ensemble des clichés présentés a été réalisé par Pierre Oger, sauf indications contraires.

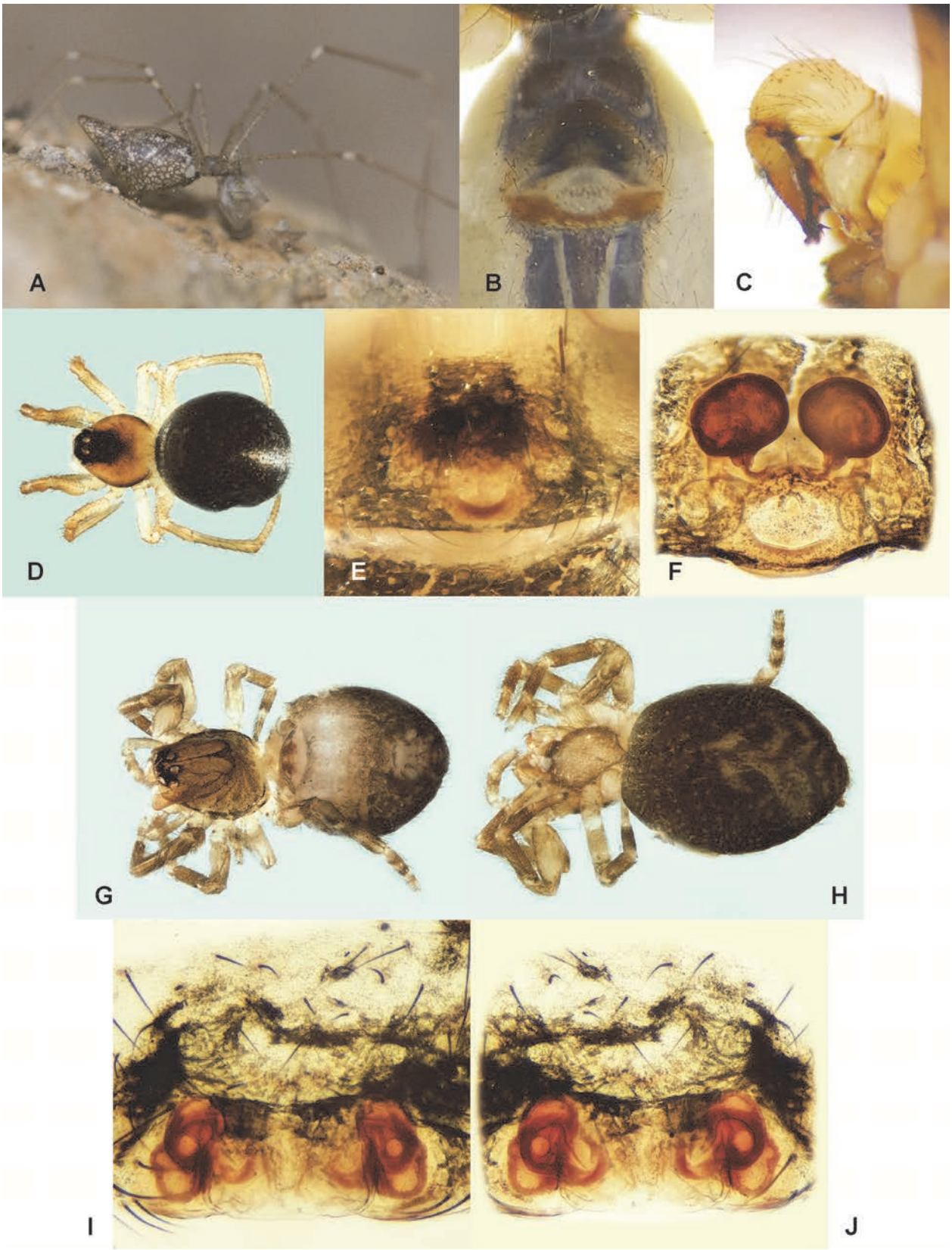


Fig. 11. A-C. *Holocnemus hispanicus* (S. Lecigne). **A**. Femelle, habitus. **B**. Epigyne. **C**. Mâle, pédipalpe, vue retrolatérale. **D-F**. *Lasaeola testaceomarginata*, femelle. **D**. Habitus. **E**. Epigyne. **F**. Vulve, vue dorsale. **G-J**. *Lathys* cf. *affinis*, femelle. **G**. Abdomen vrillé: prosoma en vue dorsal et abdomen en vue ventrale. **H**. Abdomen vrillé: prosoma en vue ventral et habitus de l'abdomen. **I**. Vulve, vue ventrale. **J**. Vulve, vue dorsale. L'ensemble des clichés présentés a été réalisé par Pierre Oger, sauf indications contraires.

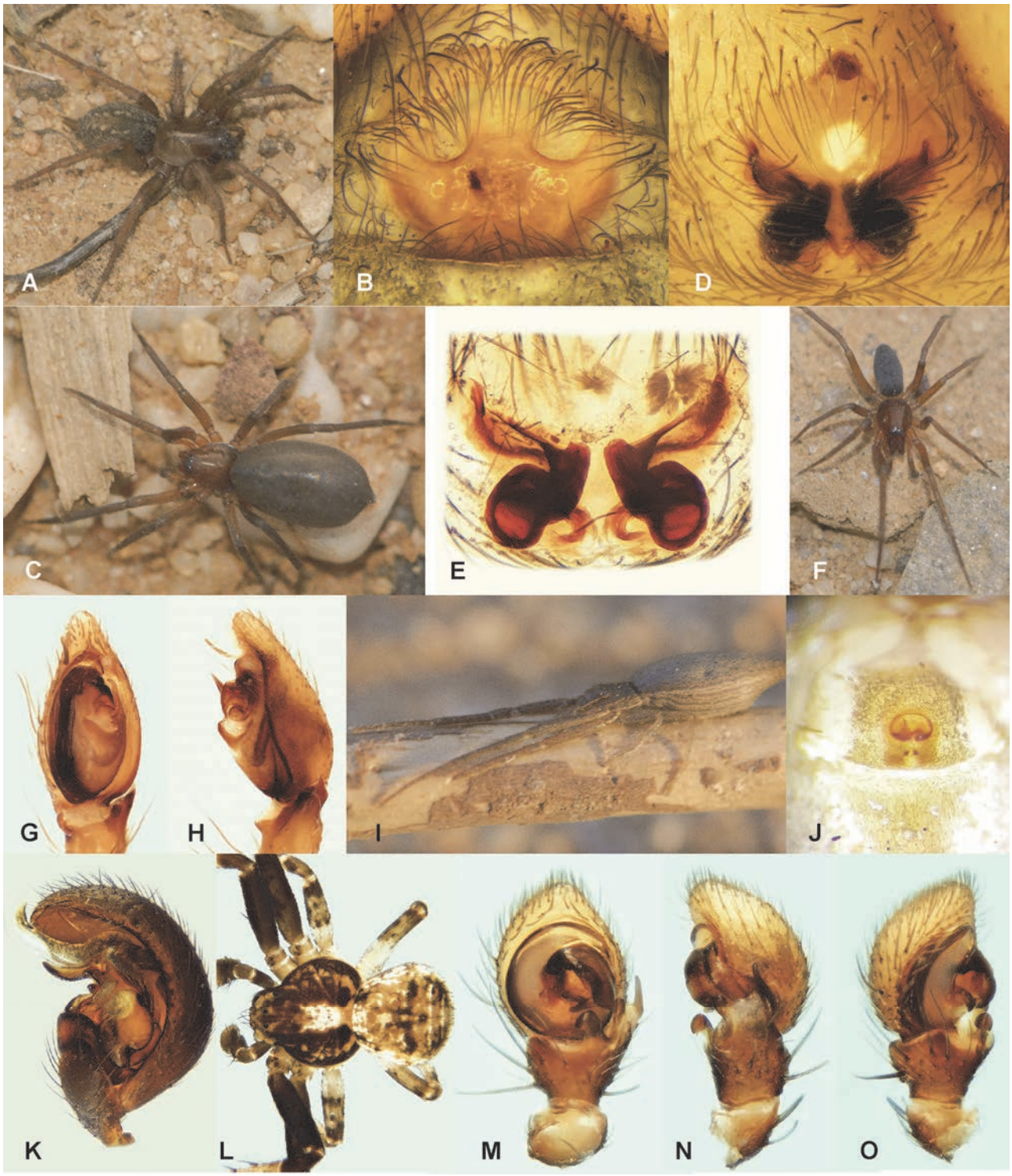


Fig. 12. A-B. *Lycosoides coarctata*, femelle. **A**. Habitus (S. Lecigne). **B**. Epigyne. **C-H**. *Mesiotelus mauritanicus*. **C**. Femelle, habitus (S. Lecigne). **D**. Epigyne. **E**. Vulve, vue dorsale. **F**. Mâle, habitus (S. Lecigne). **G**. Pédipalpe, vue ventrale. **H**. Pédipalpe, vue rétrolatérale. I-J. *Monaeses paradoxus*, femelle (S. Lecigne). **I**. Habitus. **J**. Epigyne. **K**. *Neottiura curvimana*, mâle, pédipalpe, vue rétrolatérale (exemplaire de France). **L-O**. *Ozyptila perplexa*, mâle. **L**.Habitus. **M**. Pédipalpe, vue ventrale. **N**. Pédipalpe, vue rétrolatérale. **O**. Pédipalpe, vue prolatérale. L'ensemble des clichés présentés a été réalisé par Pierre Oger, sauf indications contraires.

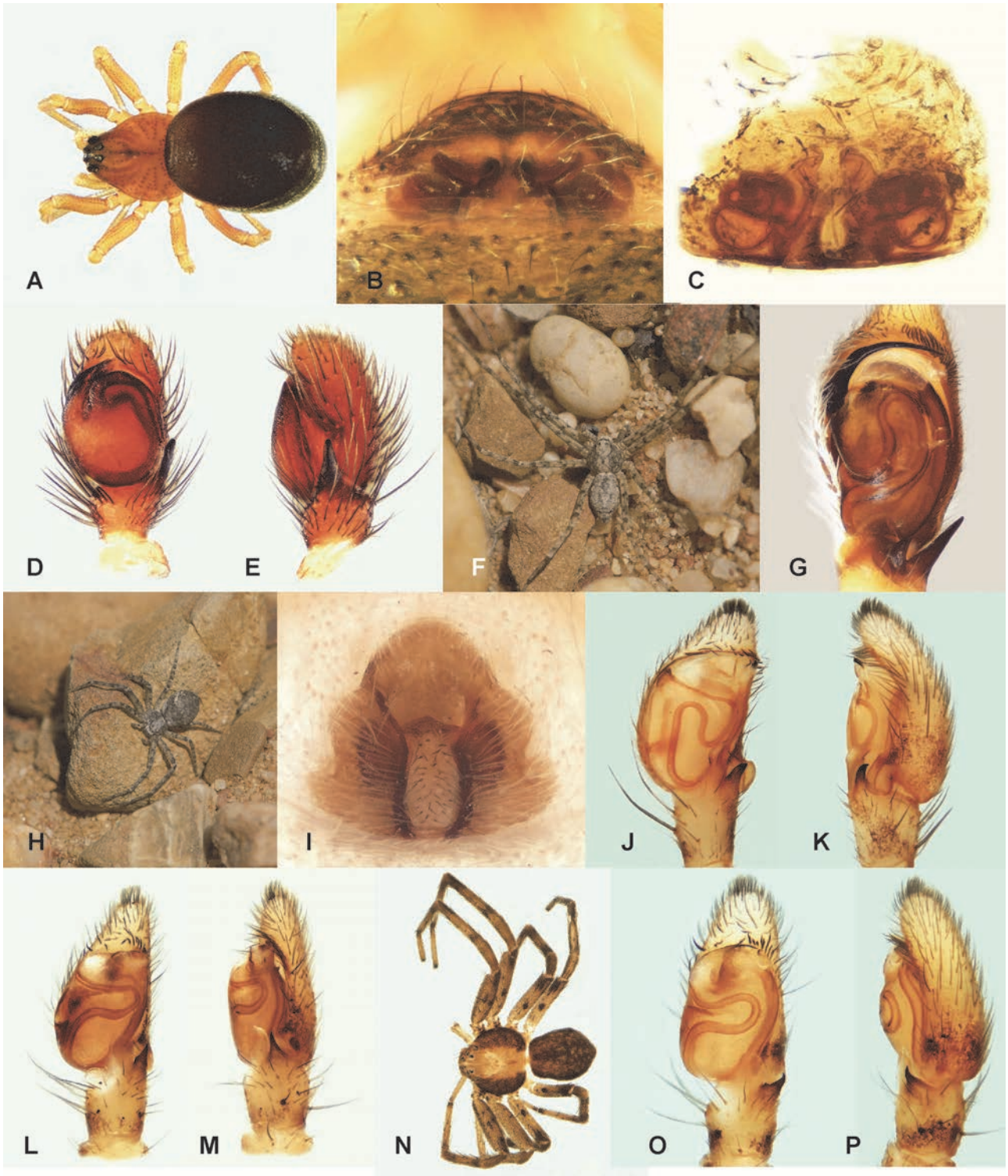


Fig. 13. A-C. *Pelecopsis bucephala*, femelle. **A**. Habitus. **B**. Epigyne, vue postérieure. **C**. Vulve, vue dorsale. **D-E**. *Pellenes brevis*, mâle (exemplaire de France). **D**. Pédipalpe, vue ventrale. **E**. Pédipalpe, vue rétrolatérale. **F-I**. *Philodromus buxi*. **F**. Mâle, habitus (S. Lecigne). **G**. Pédipalpe, vue ventrale (exemplaire de France). **H**. Femelle, habitus (S. Lecigne). **I**. Epigyne (exemplaire de France). **J-K**. *Pulchellodromus bistigma*, mâle. **J**. Pédipalpe, vue ventrale. **K**. Pédipalpe, vue rétrolatérale. **L-M**. *Pulchellodromus glaucinus*, mâle (exemplaire de France). **L**. Pédipalpe, vue ventrale. **M**. Pédipalpe, vue rétrolatérale. **N-P**. *Pulchellodromus simoni*, mâle. **N**. Habitus. **O**. Pédipalpe, vue ventrale. **P**. Pédipalpe, vue rétrolatérale. L'ensemble des clichés présentés a été réalisé par Pierre Oger, sauf indications contraires.

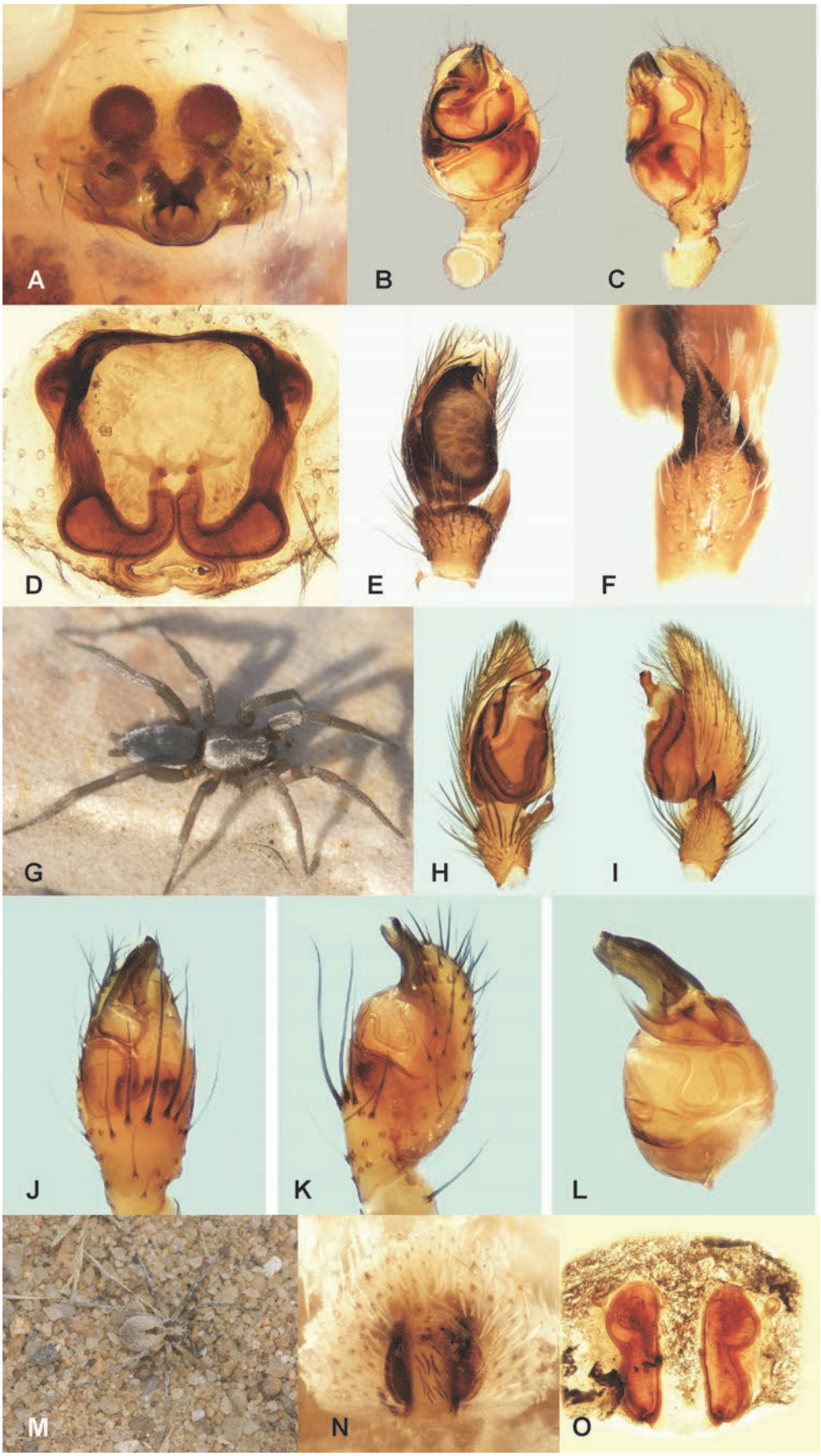


Fig. 14. A-C. *Ruborridion musivum*. **A**. Epigyne (exemplaire de Corse). **B**. Mâle, pédipalpe, vue ventrale. **C**. Mâle, pédipalpe, vue rétrolatérale (exemplaire de Sardaigne). **D-F**. *Salticus mutabilis*. **D**. Epigyne (exemplaire de Corse). **E**. Mâle, pédipalpe, vue ventrale. **F**. Mâle, apophyse tibiale, vue rétrolatérale (exemplaire de France). **G-I**. *Scotophaeus nanoides*, mâle. **G**. Habitus (S. Lecigne). **H**. Pédipalpe, vue proventrale. **I**. Pédipalpe, vue rétrolatérale. **J-L**. *Simitidion simile*, mâle. **J**. Pédipalpe, vue ventrale. **K**. Pédipalpe, vue rétrolatérale. **L**. Bulbe, vue rétrolatérale. **M-O**. *Thanatus fabricii*, femelle. **M**. Habitus (S. Lecigne). **N**. Epigyne. **O**. Vulve, vue dorsale (exemplaire de Crête). L'ensemble des clichés présentés a été réalisé par Pierre Oger, sauf indications contraires.

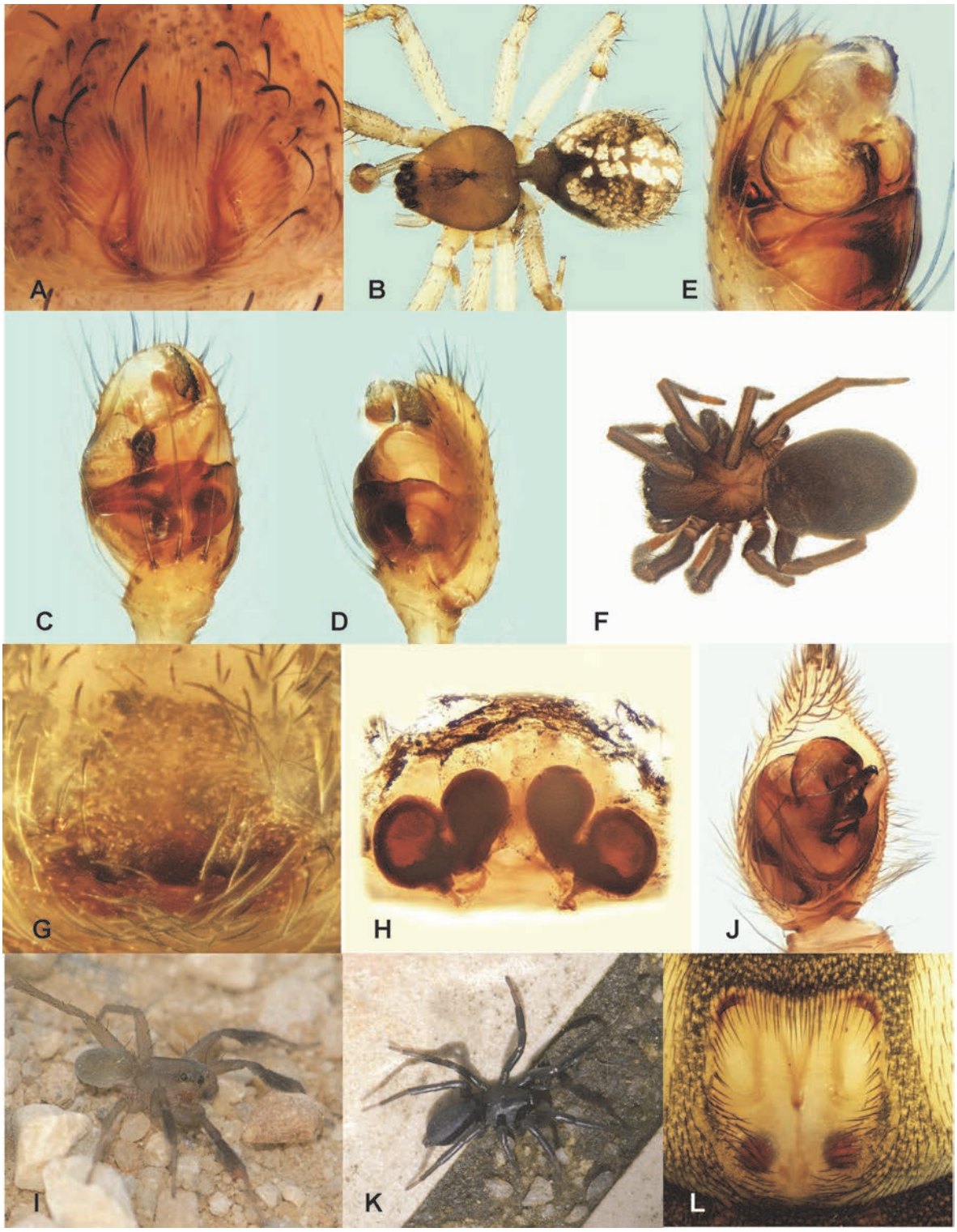


Fig. 15. A. *Thanatus formicinus*, épigyne (exemplaire de France). **B-E**. *Theridion harmsi*, mâle. **B**. Habitus. **C**. Pédipalpe, vue ventrale. **D**. Pédipalpe, vue rétrolatérale. **E**. Bulbe, vue proventrale et détails du conducteur et de l'embolus. **F-H**. *Titanoeca praefica*, femelle. **F**. Habitus. **G**. Epigyne. **H**. Vulve, vue dorsale. **I-J**. *Trabea paradoxa*, mâle. **I**. Habitus (S. Lecigne). **J**. Pédipalpe, vue ventrale. **K-L**. *Trachyzelotes holosericeus*, femelle. **K**. Habitus (S. Lecigne). **L**. Epigyne. L'ensemble des clichés présentés a été réalisé par Pierre Oger, sauf indications contraires.

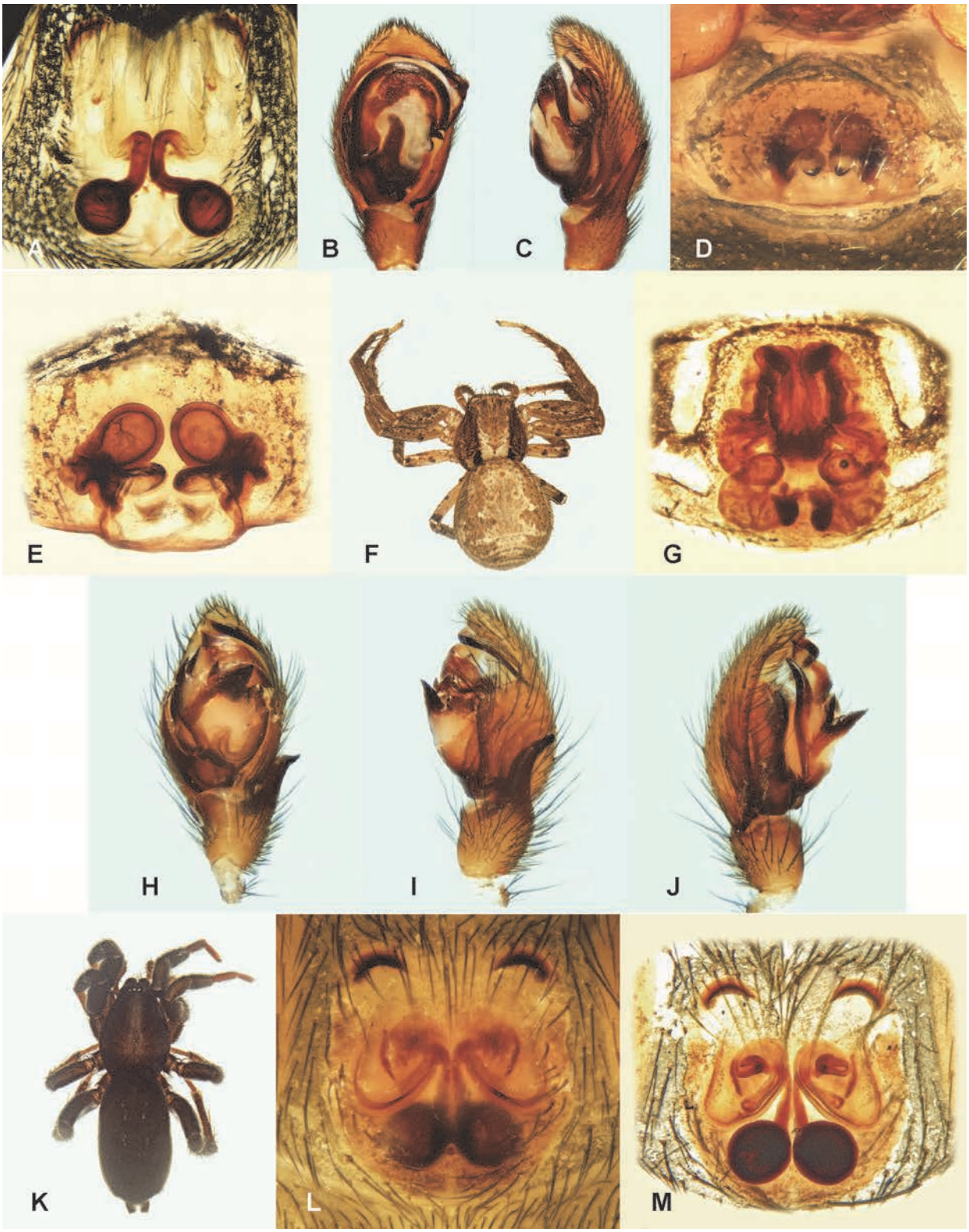


Fig. 16. A-C. *Trachyzelotes holosericeus*. **A**. Vulve, vue dorsale. **B**. Mâle, pédipalpe, vue ventrale. **C**. Mâle, pédipalpe, vue rétrolatérale. **D-E**. *Trichopterna cucurbitina*, femelle (exemplaire de France). **D**. Epigyne. **E**. Vulve, vue dorsale. **F-G**. *Xysticus nubilus*, femelle. **F**. Habitus. **G**. Vulve, vue dorsale. **H-J**. *Zelotes criniger*, mâle, pédipalpe. **H**. Vue ventrale. **I**. Vue rétrolatérale. **J**. Vue prolatérale. **K-M**. *Zelotes lagrecai*, femelle. **K**. Habitus. **L**. Epigyne. **M**. Vulve, vue dorsale. L'ensemble des clichés présentés a été réalisé par Pierre Oger.

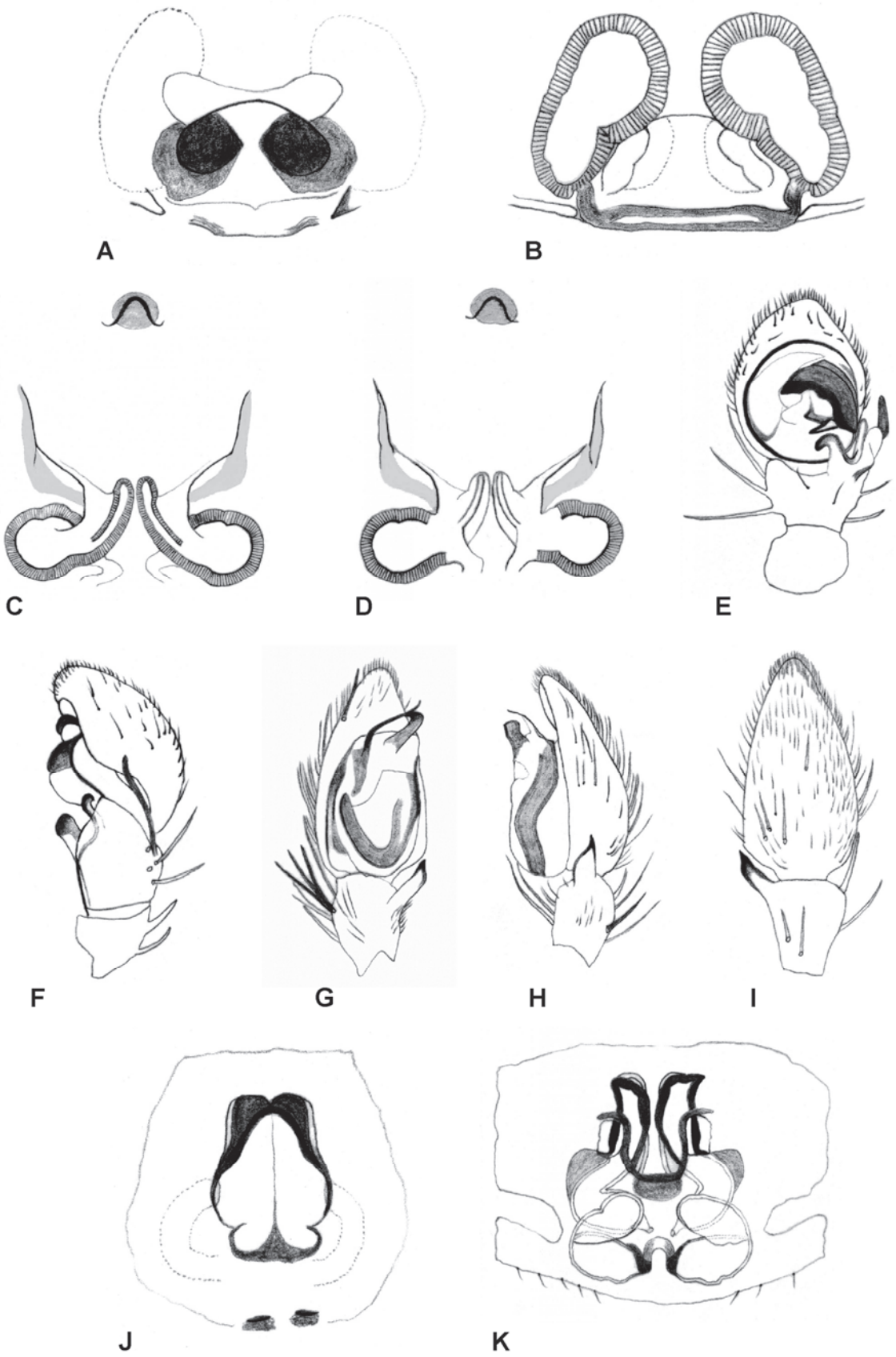


Fig. 17. A-B. *Eratigena feminea*, femelle. **A**. Epigyne. **B**. Vulve, vue dorsale. **C-D**. *Mesiotelus mauritanicus*, femelle. **C**. Vulve, vue ventrale. **D**. Vulve, vue dorsale. **E-F**. *Ozyptila perplexa*, mâle, palpe. **E**. Vue ventrale. **F**. Vue rétrolatérale. **G-I**. *Scotophaeus nanoides*, mâle, palpe. **G**. Vue ventro-prolatérale. **H**. Vue rétrolatérale. **I**. Vue dorsale. **J-K**. *Xysticus nubilus*, femelle. **J**. Epigyne. **K**. Vulve, vue dorsale. Les dessins ont été réalisés par l'auteur.